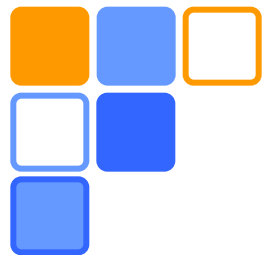


初代星形成シミュレーションの 最近の進展 (2021年以降くらい)



Kazuyuki Sugimura
(Hokkaido University)





Contents

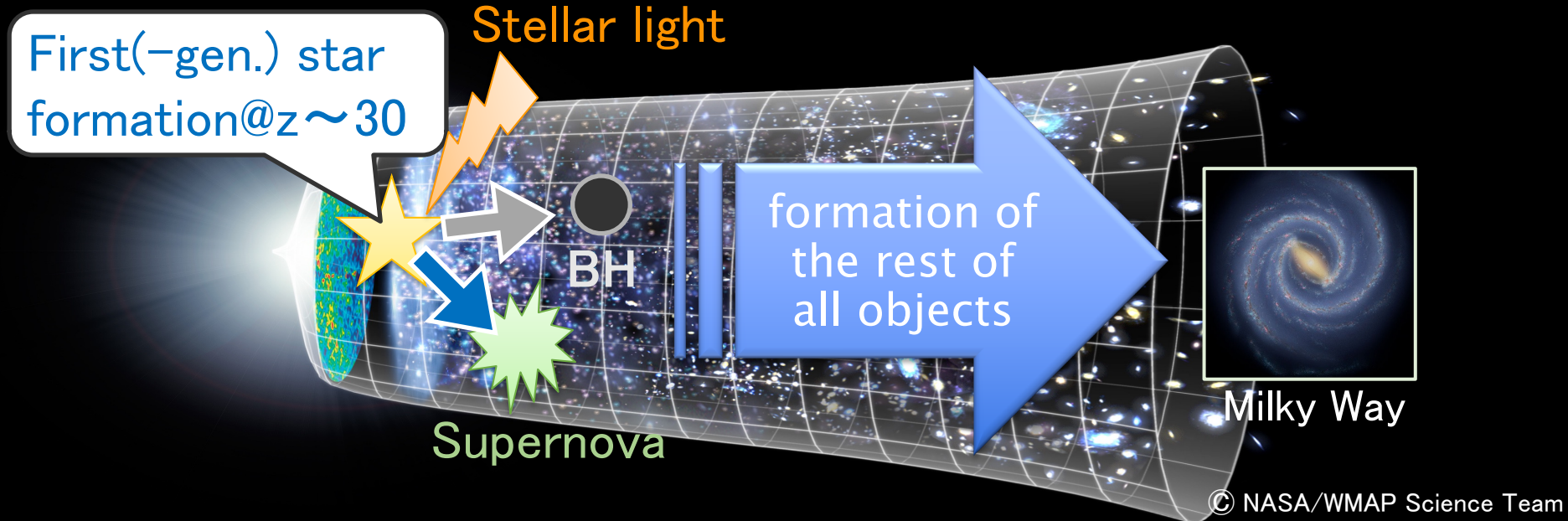
- Introduction
- Overall picture of Pop III formation
- Recent topics (2021–)
- Conclusions



INTRODUCTION

The first stars: starting point of the formation history of astronomical object

(First star = Pop III star)

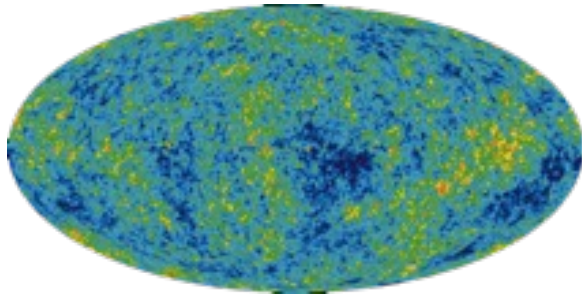


- The properties of the first stars determines the future of the Universe
← supernovae, stellar radiation, seeding BHs, etc.
- Also, their properties is getting more reachable by observations
← direct obs., binary BH mergers, low-mass survivors, PISNe, GRBs, etc.

→衣川さんトーク

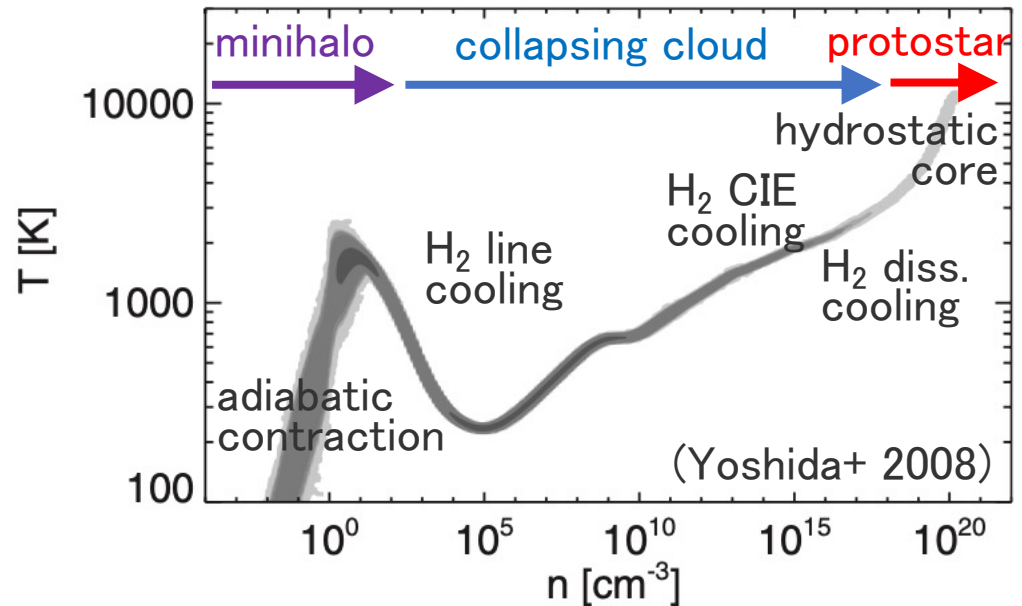
Uniqueness of the first stars: possible target for first-principle understanding

initial condition



CMB fluctuations from WMAP/Planck

chemical/thermal processes



thermal state of gas at protostar formation

Both initial condition and evolution equations are well established



All we need is comp. power (and/or smart modelling that reduces the comp. cost without sacrificing realism) 5



Big goal of first star studies

Determining the properties of the first stars from the first principle



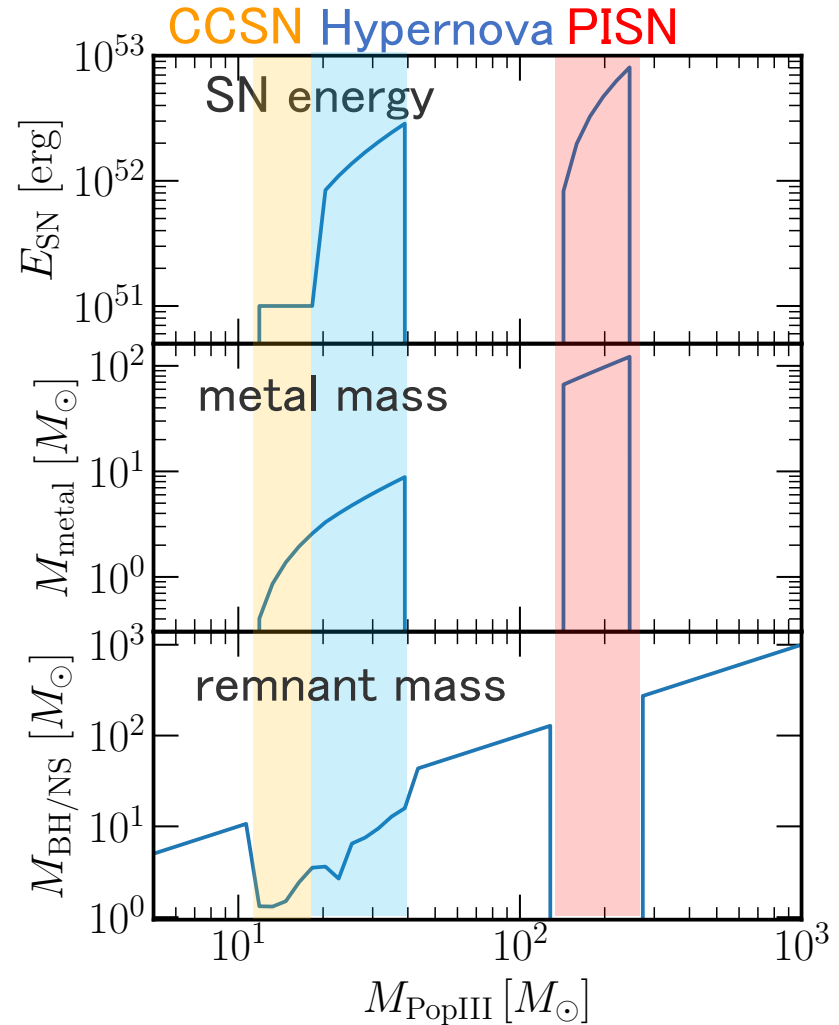
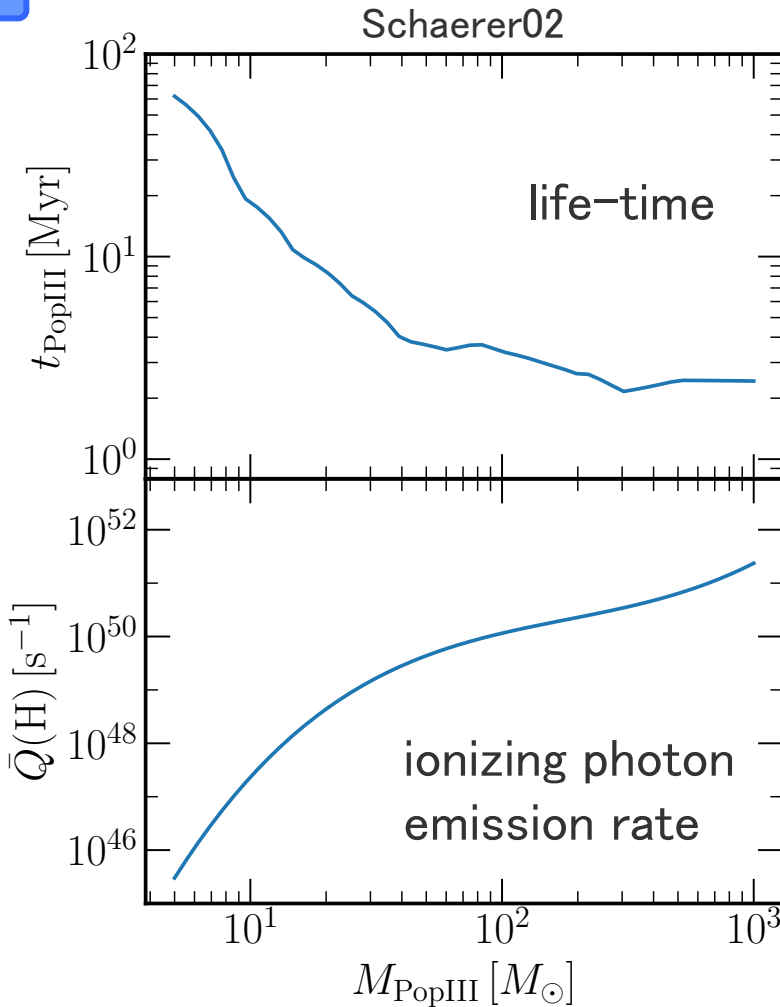
mass, spin, magnetization, multiplicity, number of stars, mass-ratio, orbital separation, eccentricity, etc.

Note: these properties are not unique due to birth-site individualities and chaotic nature of star formation

- parent halo's mass, size, shape, formation history
- background field (FUV, EUV, X-ray, CR)
- turbulence, fragmentation, 3-body interactions

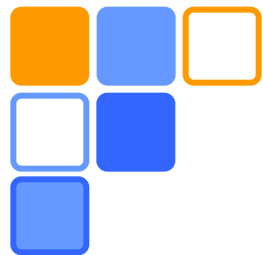
Pop III mass is of particular interest

Wise+12 based on Heger&Woosley02, Nomoto+06



Pop III mass determines the strength of the feedback

(while there is a room for improving the Pop III SN model)



Simulations from big bang to completion of first star formation

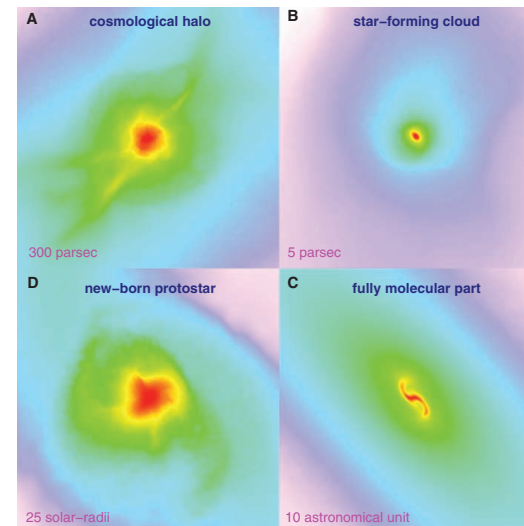
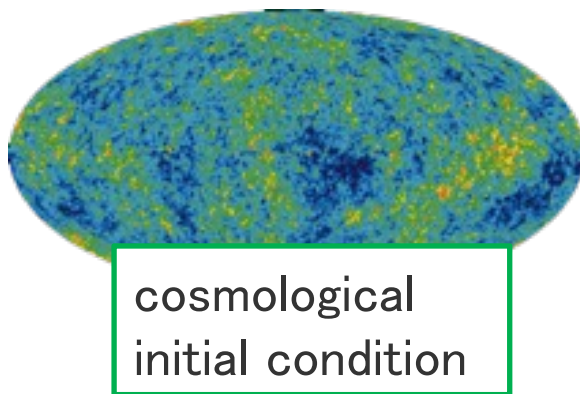
OVERALL PICTURE



Pop III formation in simulations 1: From Big Bang to first protostar

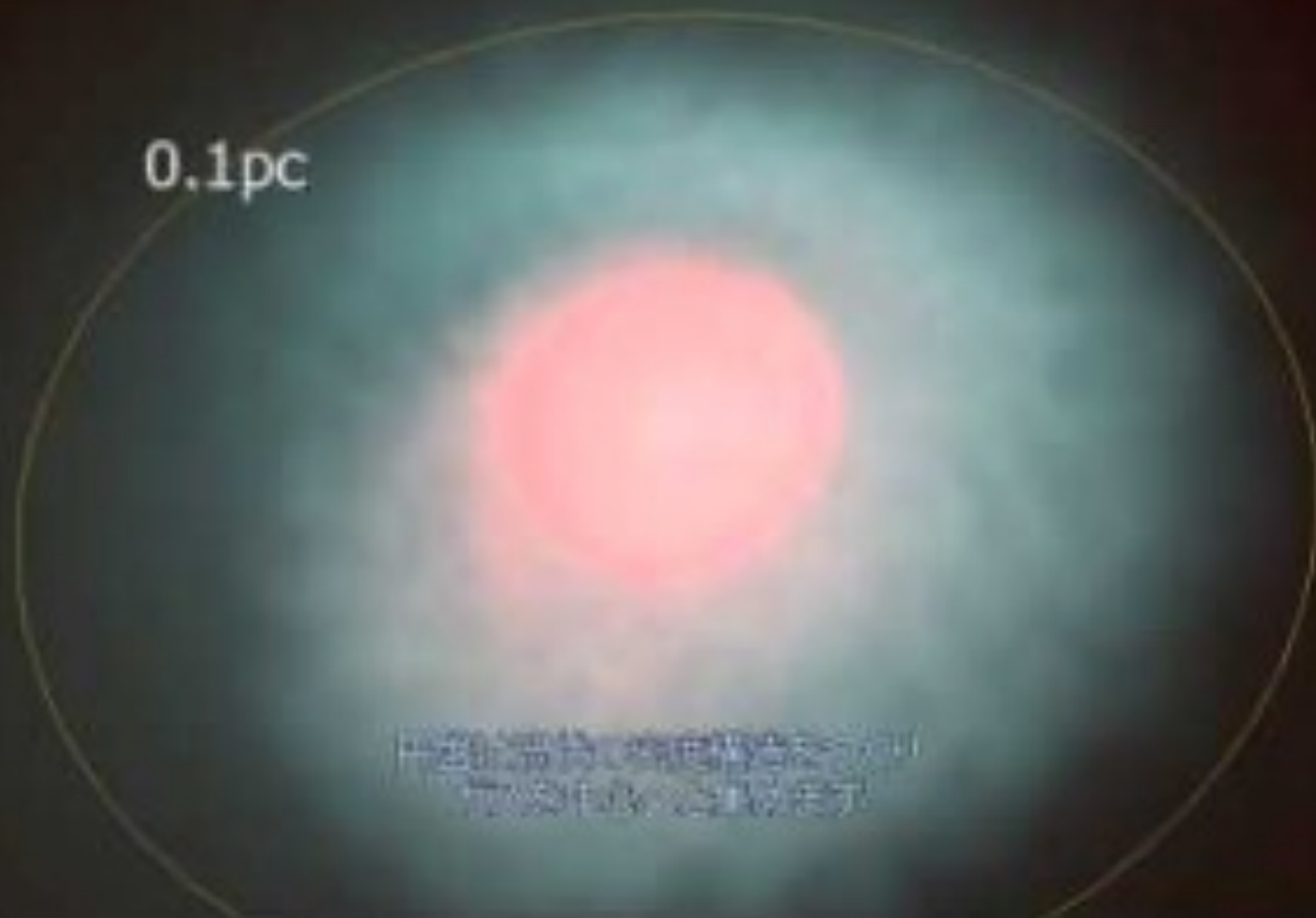
□ Cosmological hydro simulations

- starting from cosmological initial condition
- DM+gas simulation w/ all relevant chemical & thermal processes
- tiny ($\sim 0.01 M_{\text{sun}}$) protostar forms at the center of small DM halo with $M_{\text{DM}} \sim 10^5 - 10^6 M_{\text{sun}}$ (= minihalo) at $10 \lesssim z \lesssim 30$



Yoshida, Omukai, Hernquist 2008 (Science)

A movie for the birth of first protostar



https://youtu.be/2COt_OTAEKg

Hirano et al. (2014)

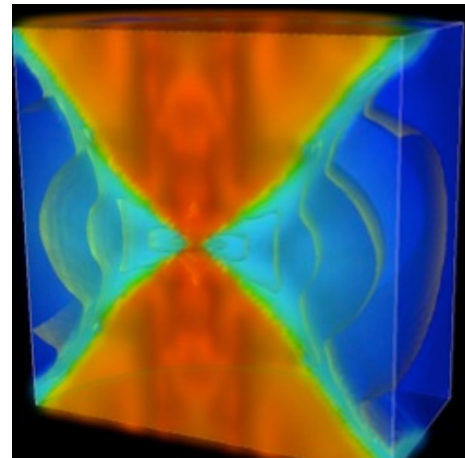
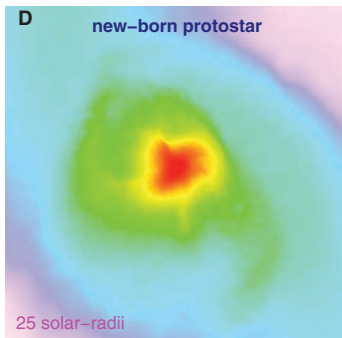
10

movie credit: Takeda

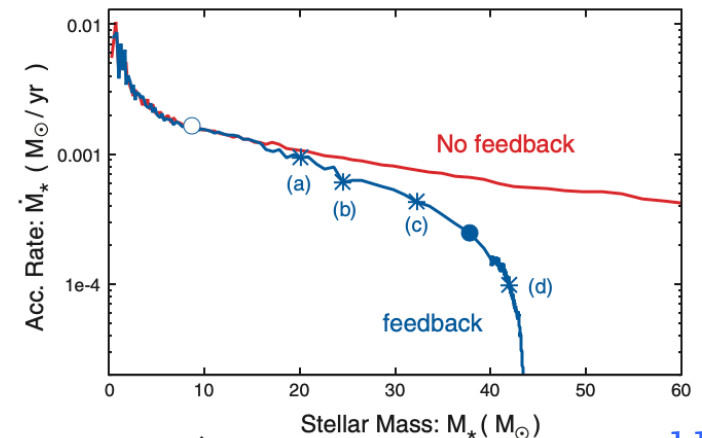
Pop III formation in simulations 2: From first protostar to first star

Zoom-in radiation hydro simulations

Hosokawa, Omukai, Yoshida, Yorke 2011 (Science)



- tiny protostar grows to massive star ($>10M_{\text{sun}}$) by accreting surrounding gas
- gas accretion is quenched by stellar radiation feedback
- final mass of star is $\sim 40 M_{\text{sun}}$ in this case



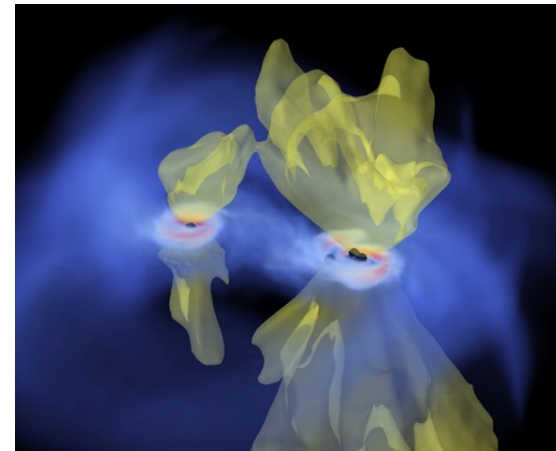
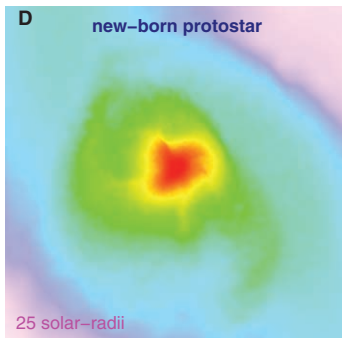
(see McKee&Tan 2008 for analytical argument)



Pop III formation in simulations 3: Formation as binary/multiple stars

Zoom-in radiation hydro simulations with 3D AMR

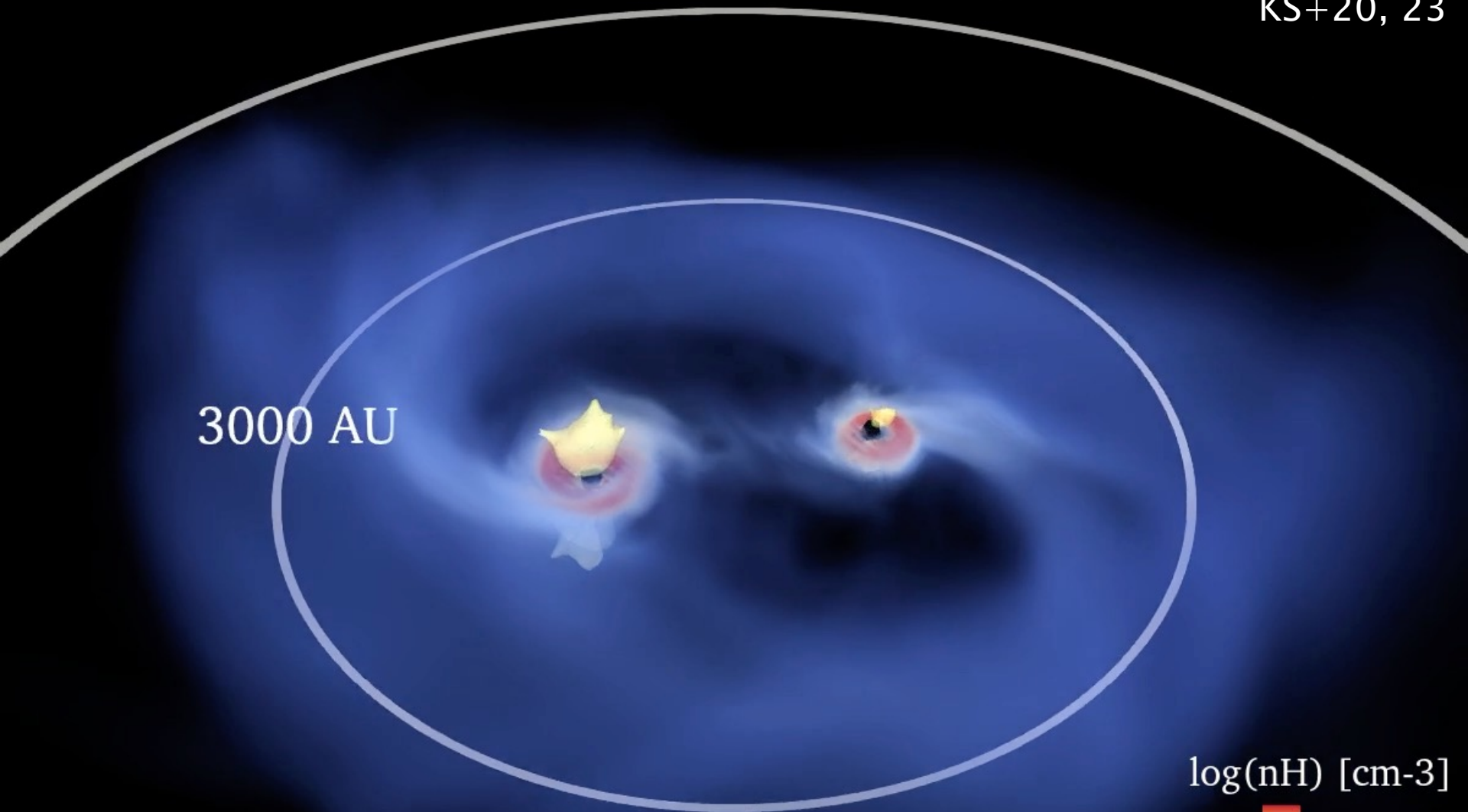
KS, Matsumoto, Hosokawa, Omukai, Hirano (2020,2023)



- 2D simulations in Hosokawa+ (2012) cannot deal with binary/multiple systems
- 3D simulations existed but with some problems
 - ✓ SPH (Stacy+12,16, Susa+14) ← hard to follow EUV feedback (Susa13)
 - ✓ spherical-grid (Hosokawa+16) ← low off-center res., central-star FB only
- 3D AMR simulations have found that the first stars form as massive binaries/multiples (KS+20,23)

$t = 11219 \text{ yr}$ A movie for the growth of first protostars

KS+20, 23



3000 AU

$\log(nH) [\text{cm}^{-3}]$



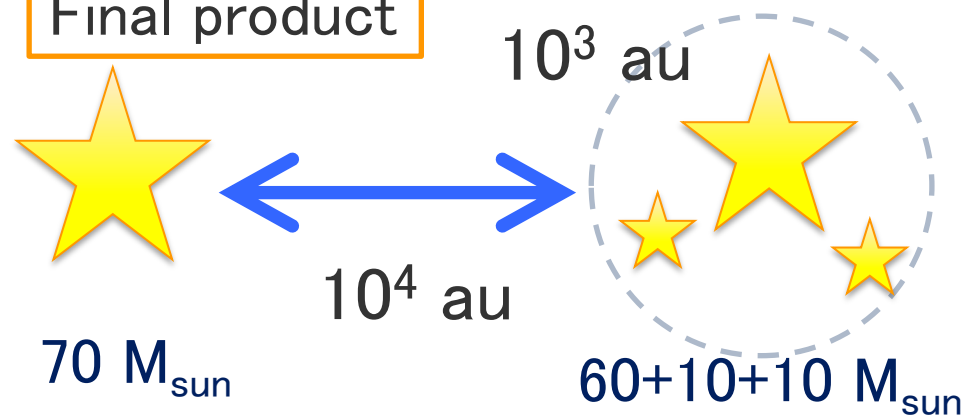
Mstar [Msun]
39.4, 39.4

(<https://www.youtube.com/watch?v=794O0yGWGp0>)

simulation set-up

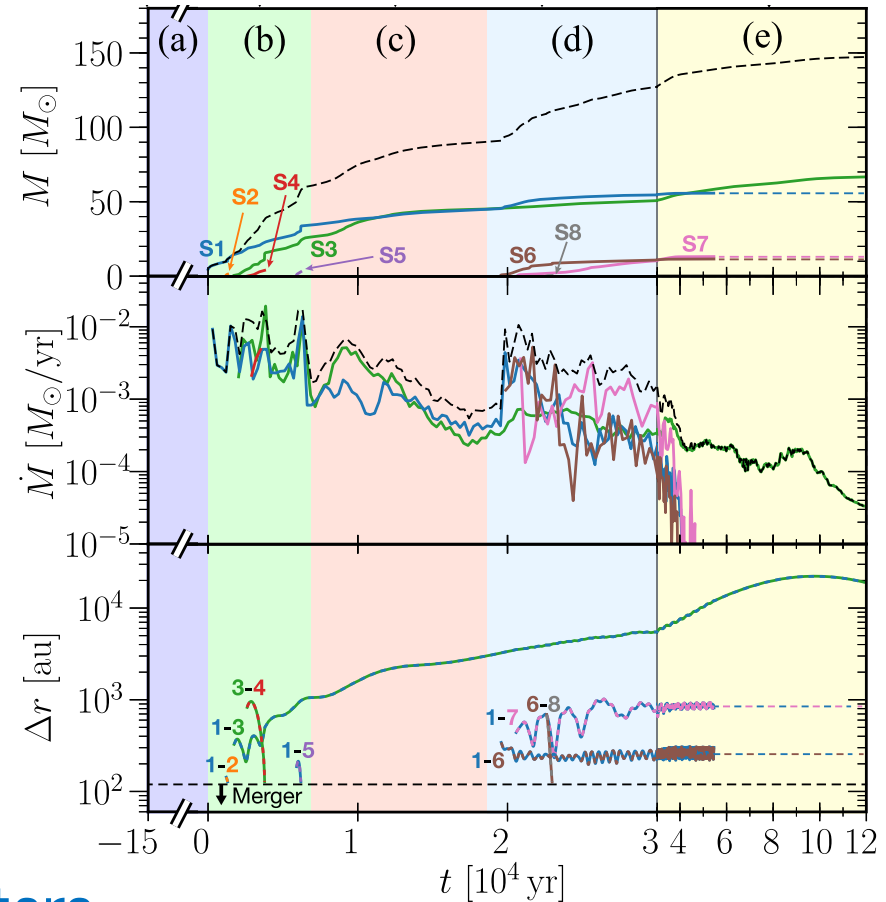
- code: SFUMATO-RT (Matsumoto07, KS+20)
- $n_{\text{sink}} = 10^{11} \text{ cm}^{-3}$, $\Delta x_{\text{min}} = 4 \text{ au}$, $r_{\text{sink}} = 64 \text{ au}$
- minimum # of cells/J Jeans length : 16
- $t_{\text{end}} = 10^5 \text{ yr}$ since protostar formation

Final product



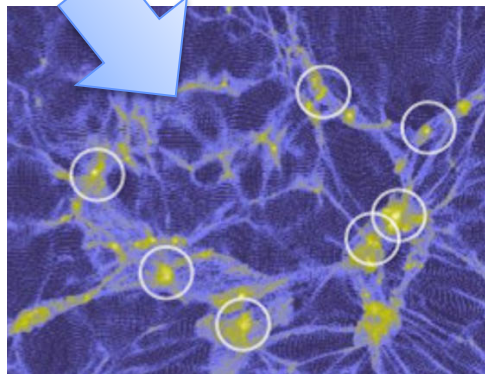
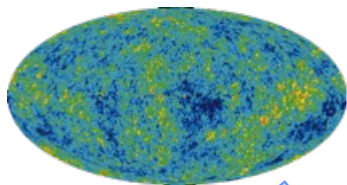
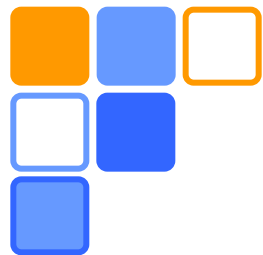
A system of wide massive multiple stars

Protostar (sink) evolution

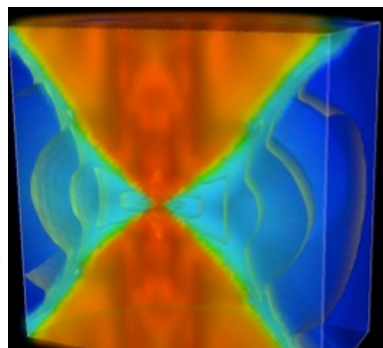


(t: time after 1st sink formation)

Pop III formation in simulations 4: from single case to statistics

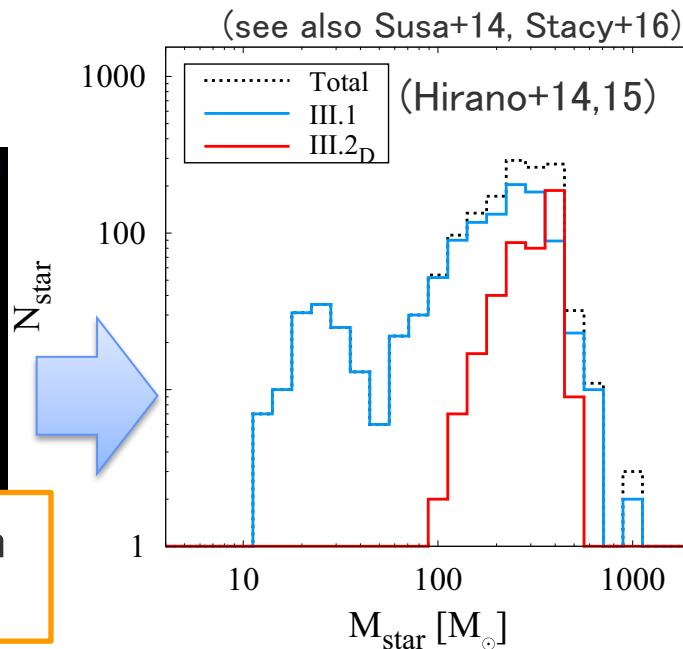


many minihalos in
cosmological sims.



star formation in
RHD sims.

(cf. Hosokawa+2011)

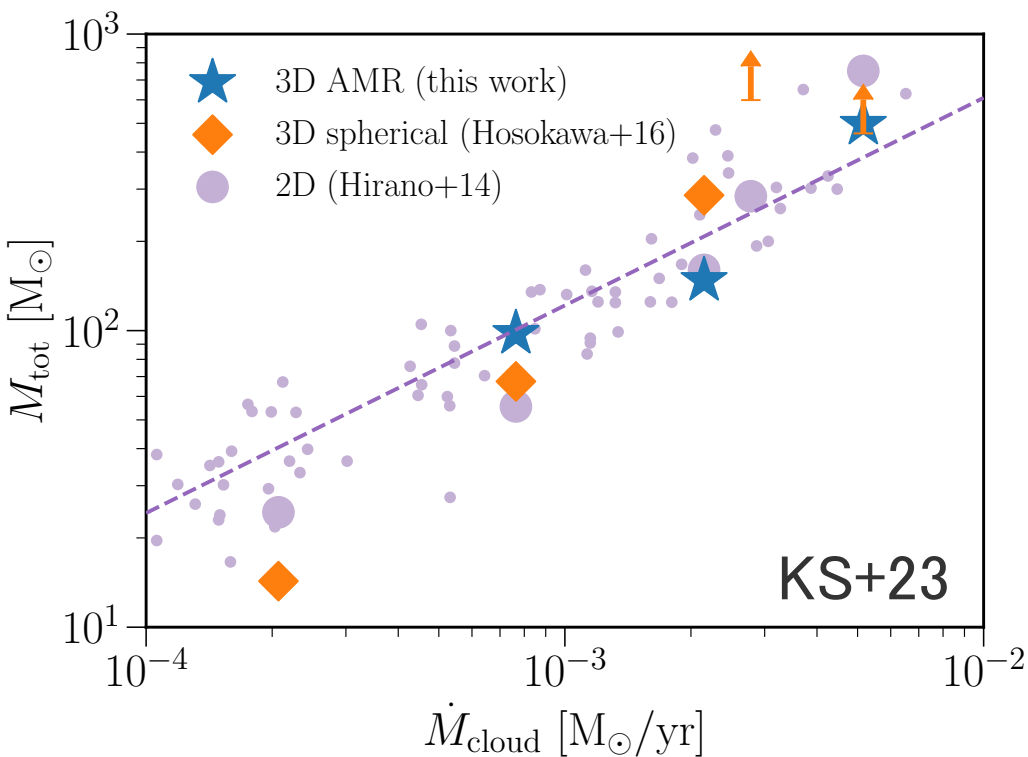


Pop III Initial Mass Function

- Pop III stars tend to be massive ($\sim 100M_{\text{sun}}$)
 \leftrightarrow Milky-Way ordinary stars ($\sim 1M_{\text{sun}}$)
- This Pop III IMF is based on 2D simulations

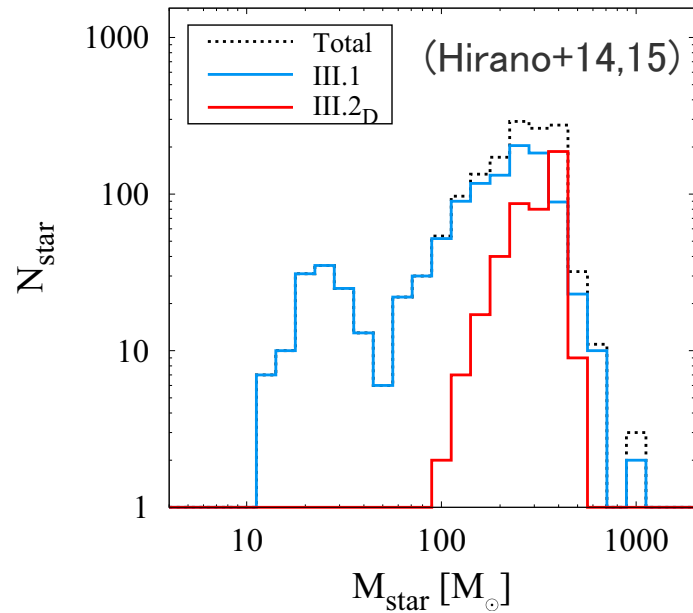
initial = birth-time
 \uparrow
 final time in simulations!

Pop III formation in simulations 5: statistics based on 3D simulations



- Fitting formula from 2D simulations (Hirano+15) seems valid for the total mass of multiple Pop III stars

$$M_{\text{tot}} = 250 M_{\odot} \left(\frac{\dot{M}_{\text{cloud}}}{2.8 \times 10^{-3} M_{\odot} \text{ yr}^{-1}} \right)^{0.7}$$

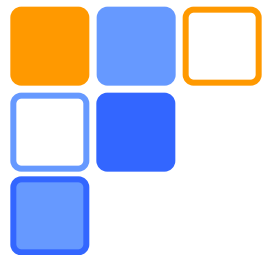


mass of a single star (2D)



total mass of multiple stars (3D)

← confirmation of this conjecture with large sample is future work



recent progress and open questions

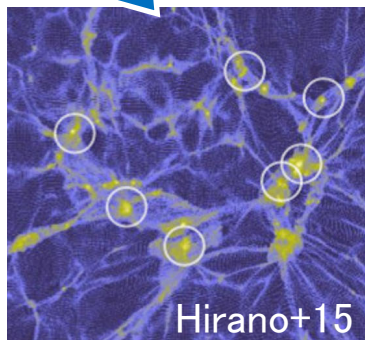
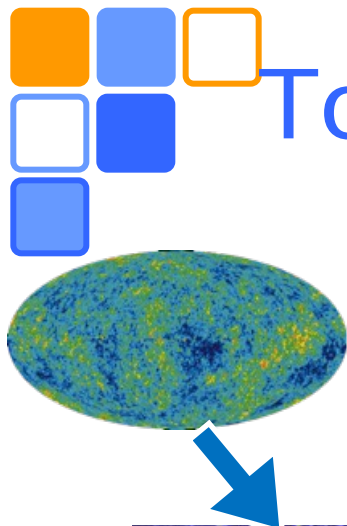
RECENT TOPICS (2021–)

(orange reference: publication since 2021)

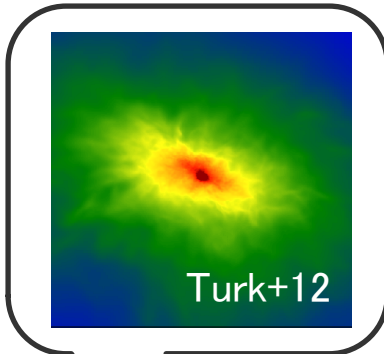
2021年以降の論文に関して見落としがあったら教えてください！

最近の初代星レビュー論文: Klessen & Glover (2023)

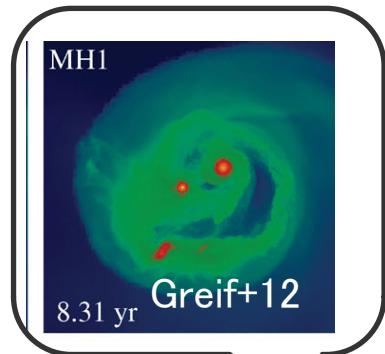
Topics related to Pop III formation



ミニハロー



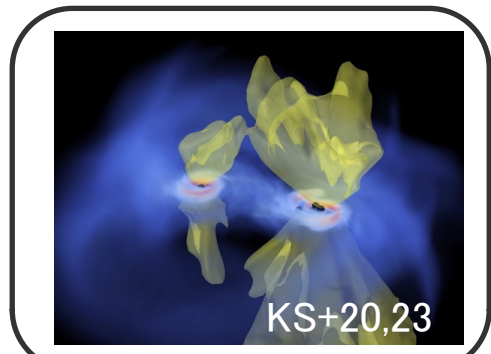
Turk+12



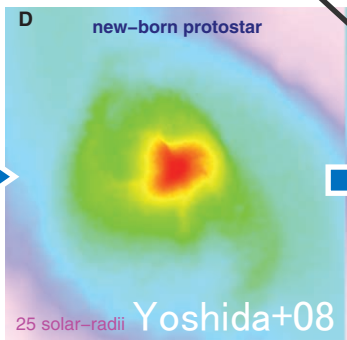
MHI

8.31 yr

Greif+12



KS+20,23



原始星

収縮期

降着期



初代星

乱流

増幅

ガス分裂・合体

輻射

冷却

解離・電離

磁場

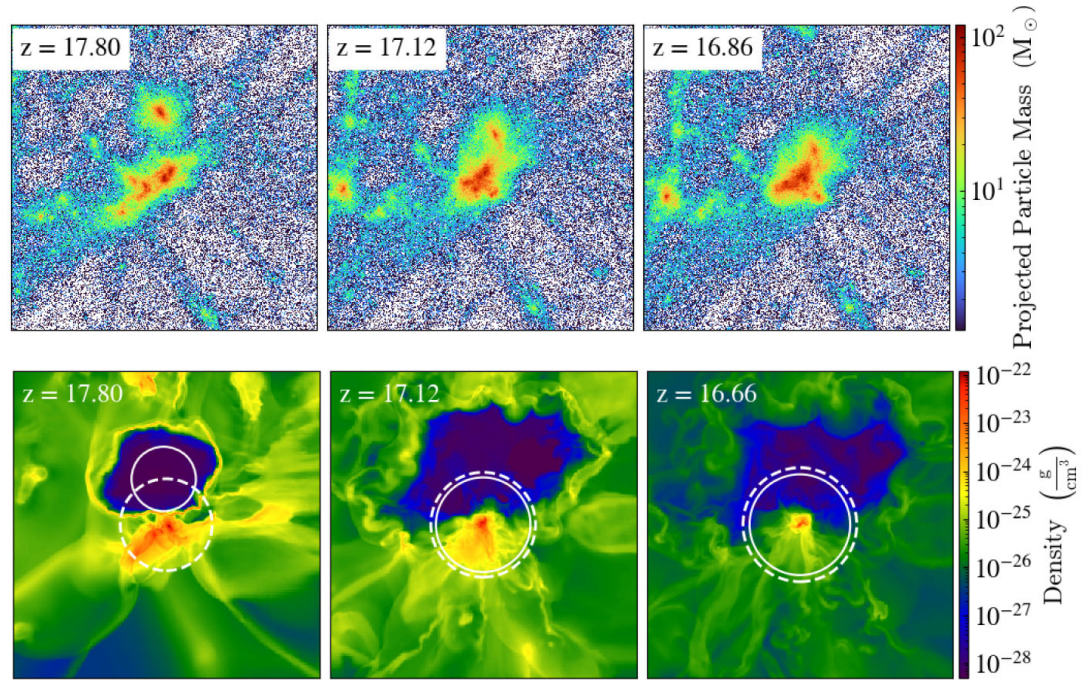
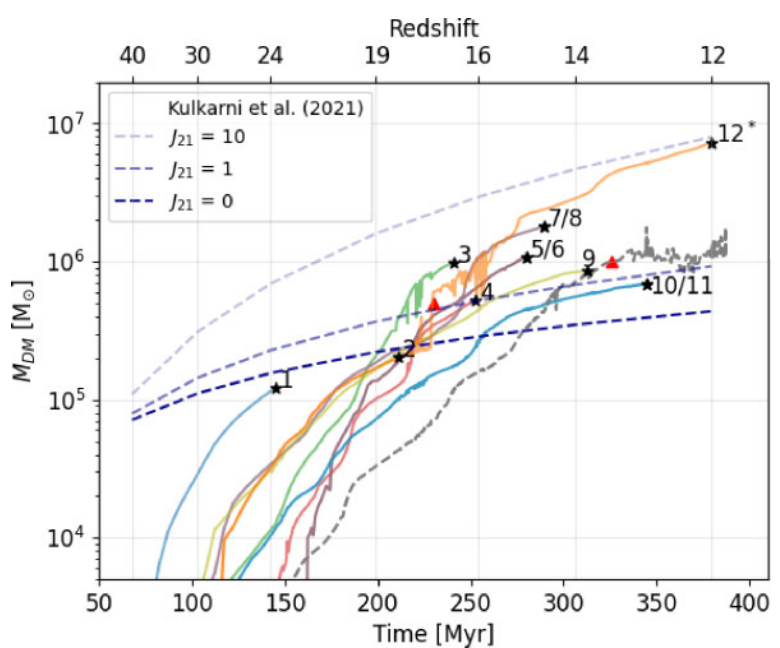
増幅

分裂抑制・フィードバック

ミニハロー内の重力収縮ガス雲形成

Tegmark+97, Schauer+21, Kulkarni+21, Correa Magnus+23, Lenoble+23

Correa Magnus+23



- Enzo, 高解像度計算 ($M_{DM}=1M_{sun}$)
- 一つのミニハロー中で複数の初代星形成領域 (3ハロー/12ハロー)
- SN後のガス雲の重力収縮にmajor mergerが影響

初代星の多様な形成環境・条件の理解が重要

→ 石山さんトーク

重力収縮期の乱流増幅

(Truelove+97), Federrath+11, Turk+12, Higashi+21,22

Key parameter: “Jeans number” $N_J = \lambda_J / \Delta x$

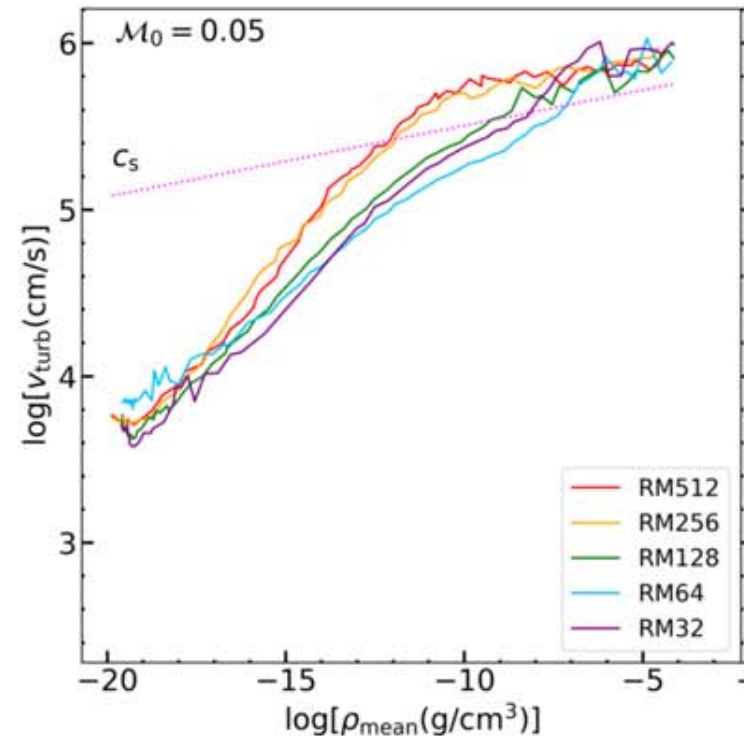
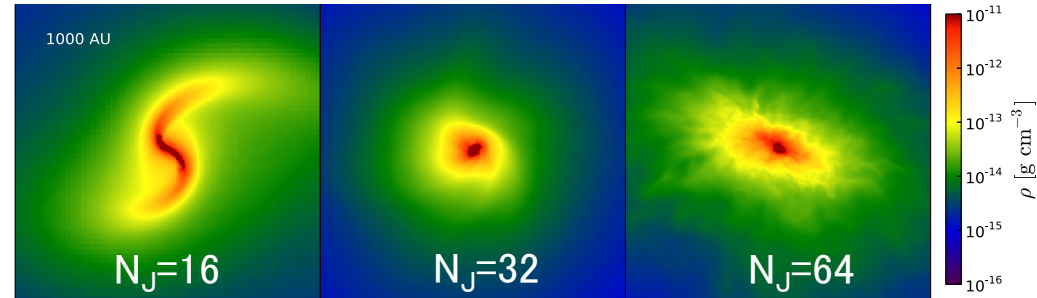
Turk+12

- Truelove条件 $N_J = 4$ は重力収縮を記述するのに全然不十分

Higashi+21, 22

- 落下するガスの運動エネルギーをソースに重力収縮中に乱流が増幅・飽和
- 結果の収束には $N_J > 256$ (cf. $N_J > 32$ in Federrath+11) が必要そう

大抵の場合、重力収縮中のガスは超音速乱流状態にあると考えられる

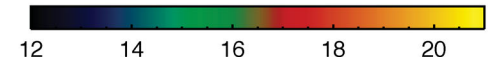


原始星形成直後の進化

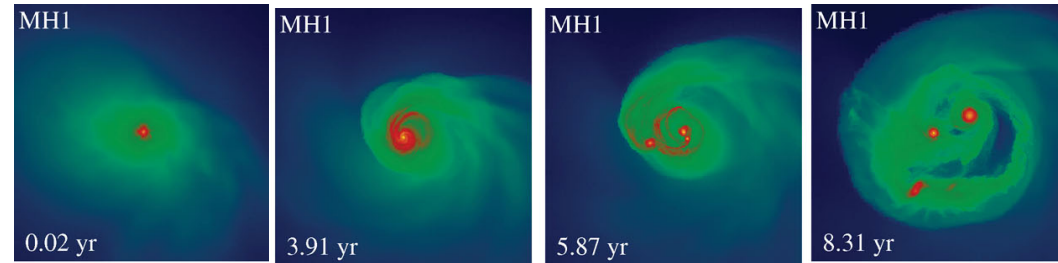
Omukai&Nishi98, Yoshida+08, Greif+12, Luo+18, Kimura+23

Side Length: 10 AU

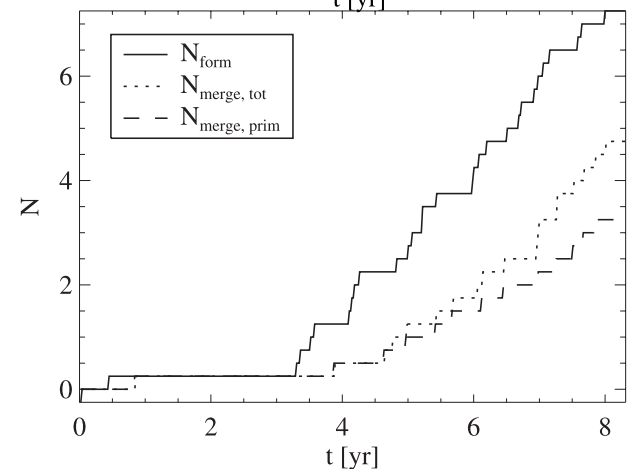
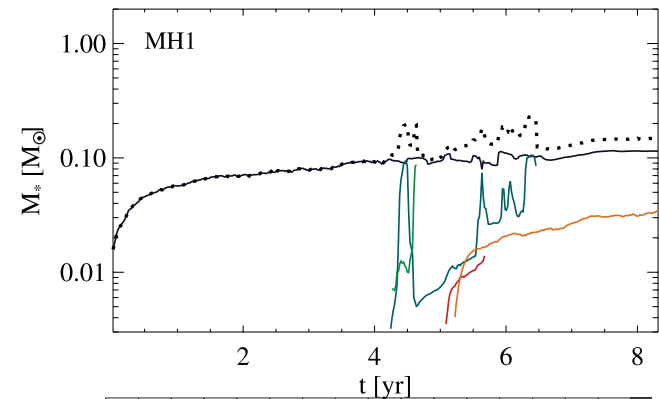
$\log n_H [\text{cm}^{-3}]$



Greif+12



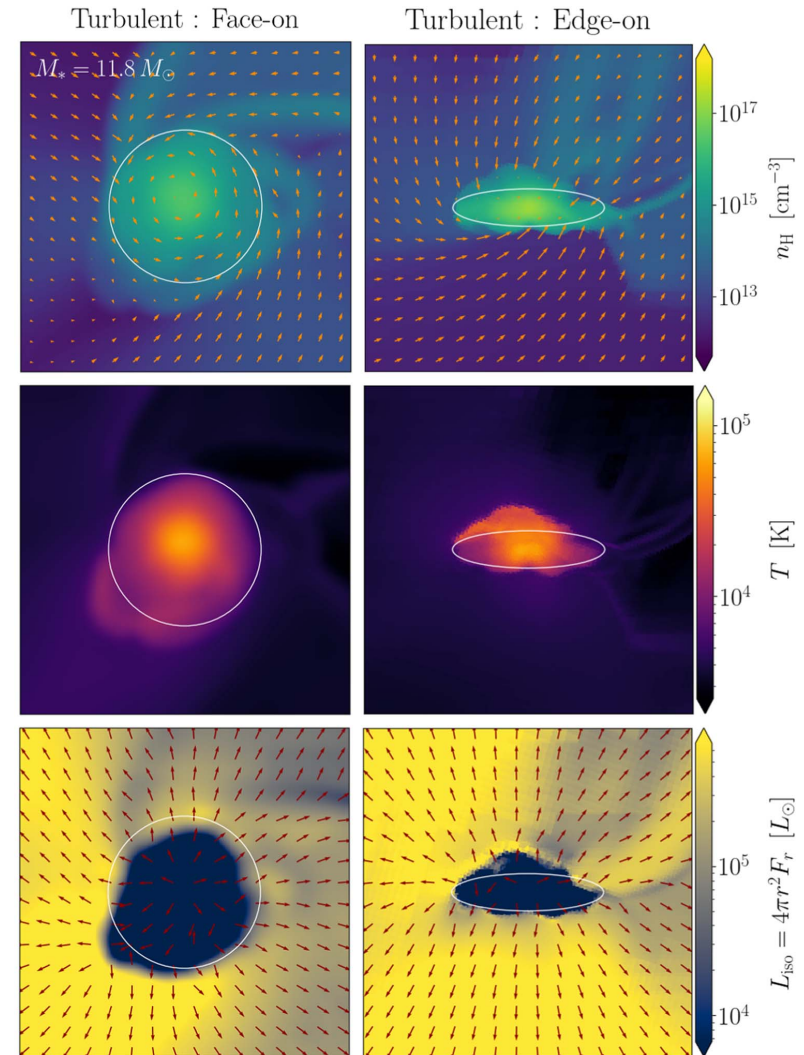
- AREPO (moving mesh), $\Delta x \sim 10^{-4}$ au
- 32cpu x 3month? (意外と計算軽い?)
- 原始星を解像した計算
- 原始星形成後10yrまでのみ
- ガス雲の分裂と合体
- 拡散光は単純化して記述
→ガスの温度構造の不定性
- この方向の研究は10年ほどあまり進まず



星の内部まで考慮した輻射流体計算

Kimura+23

- SFUMATO-RT + new M1 RT module
- 原始星内部の拡散光の輻射輸送
- ✓ 光学的厚みが非常に大きな領域を計算するための工夫
- ✓ 実際の化学・熱進化を再現
- 超大質量星形成に対応した設定(高い降着率、 $\dot{M} \sim 1 M_{\text{sun}}/\text{yr}$)
- 原始星と降着円盤の境界は不明瞭
- 成長途上の原始星からどのような輻射が出てフィードバックするか？



第一原理的方向性の研究が再始動

降着期のガス分裂・合体

Machida+08, Clark+11, Susa19, Prole+22, Riaz+23, KiriHara+24, Park+24, Saavedra-Bastidas+24

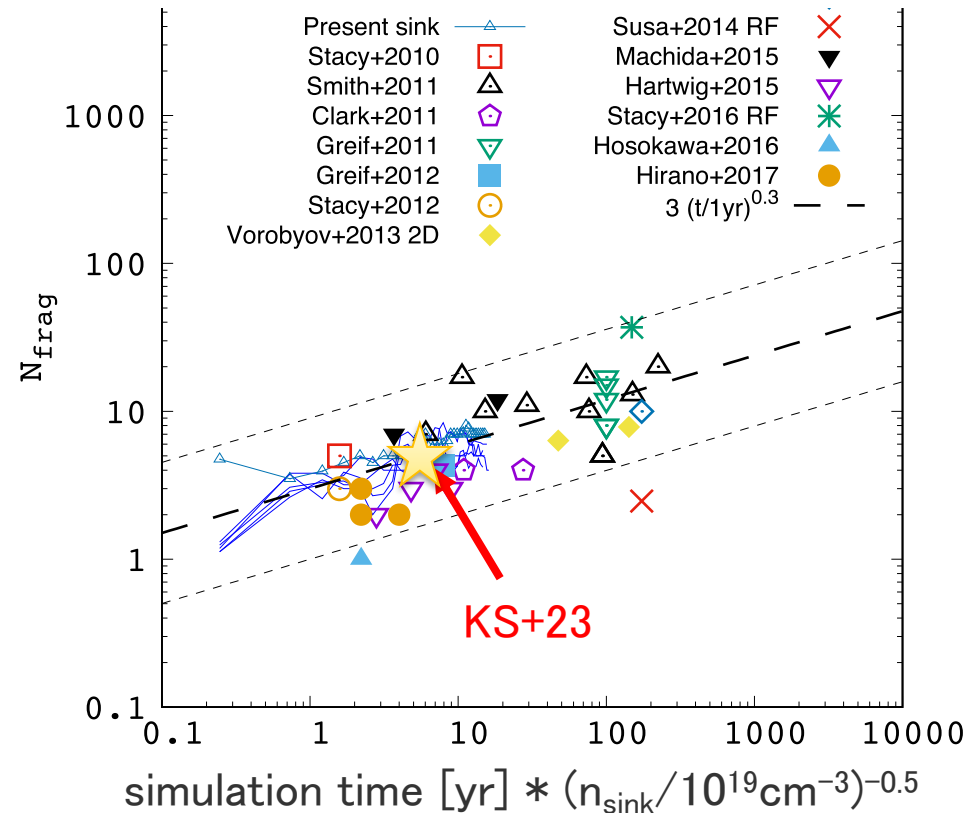
Susa19

- シミュレーションに基づき分裂と合体の解析的モデル

$$N_{\text{frag}} \propto t^{0.3}$$

- 周星円盤の分裂と分裂片同士の合体をモデル化
- 様々な状態方程式を仮定した計算によると、分裂の仕方は状態方程式に依って大きく変わりそう
← γ_{eff} 大きいと分裂しにくい

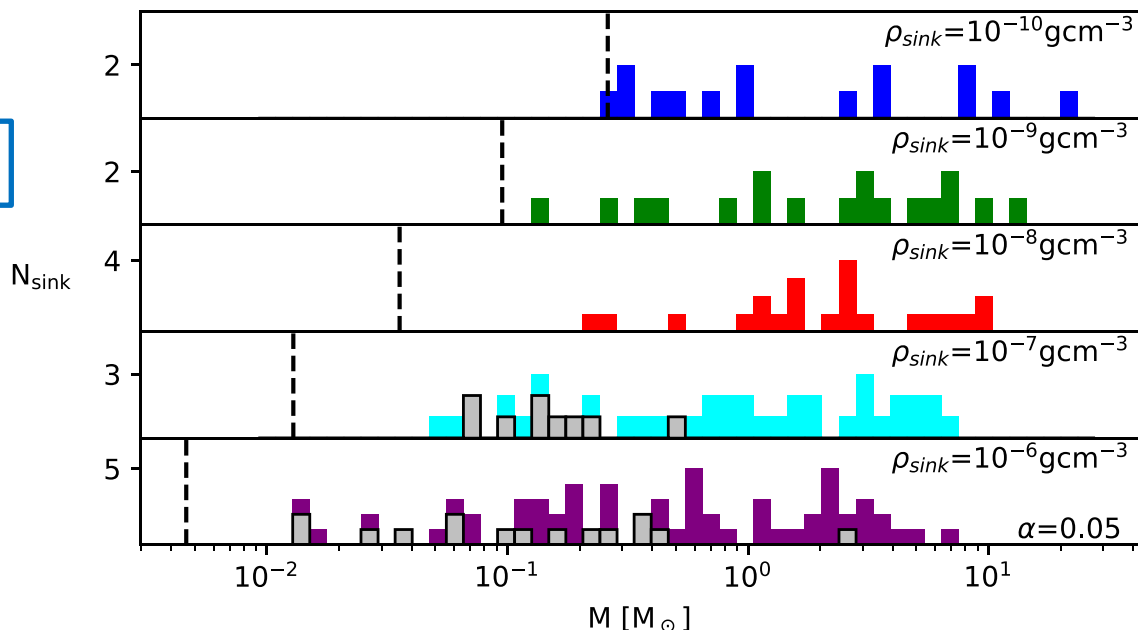
$$P = K \rho \gamma_{\text{eff}}$$



ガス分裂の解像度依存性

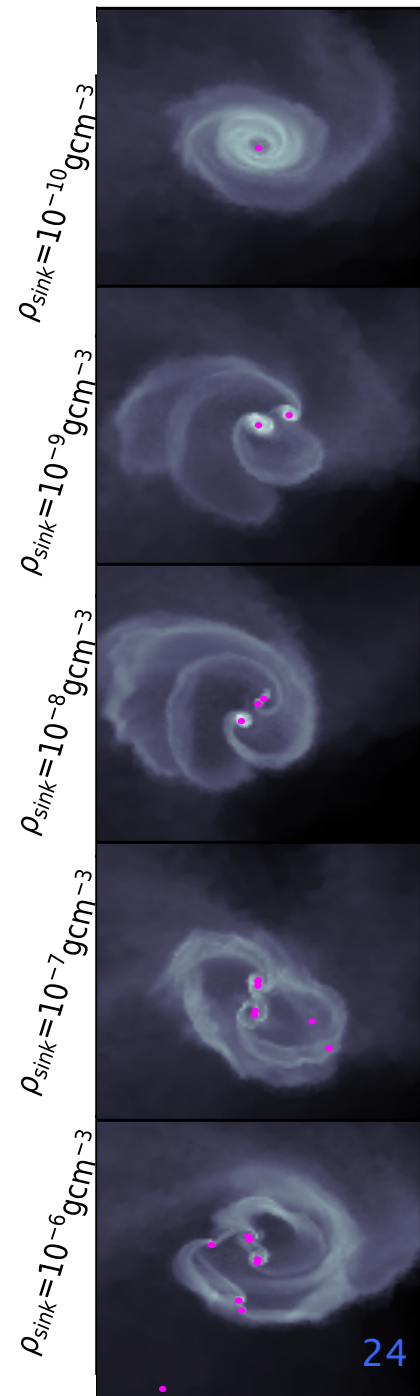


Prole+22



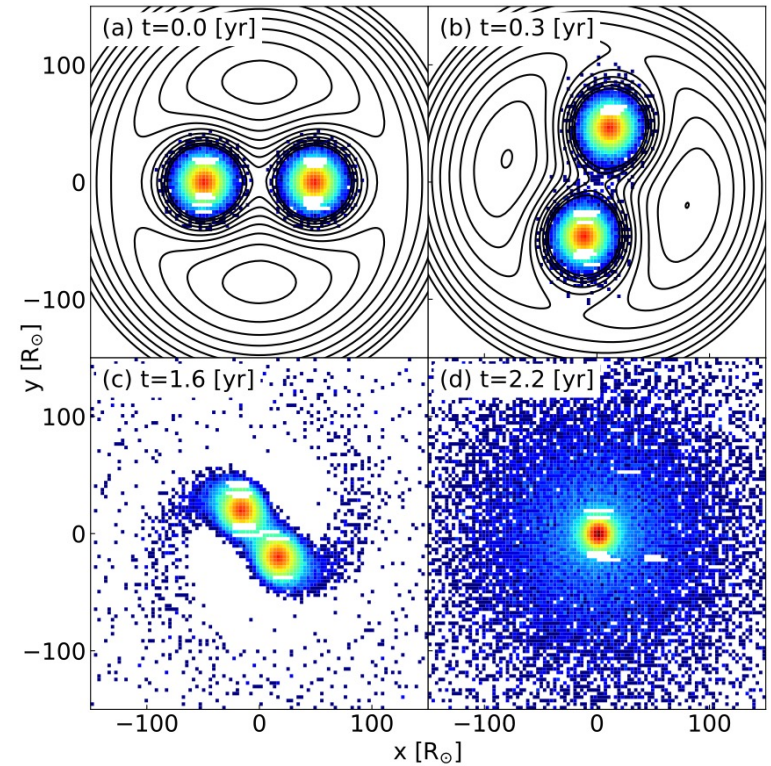
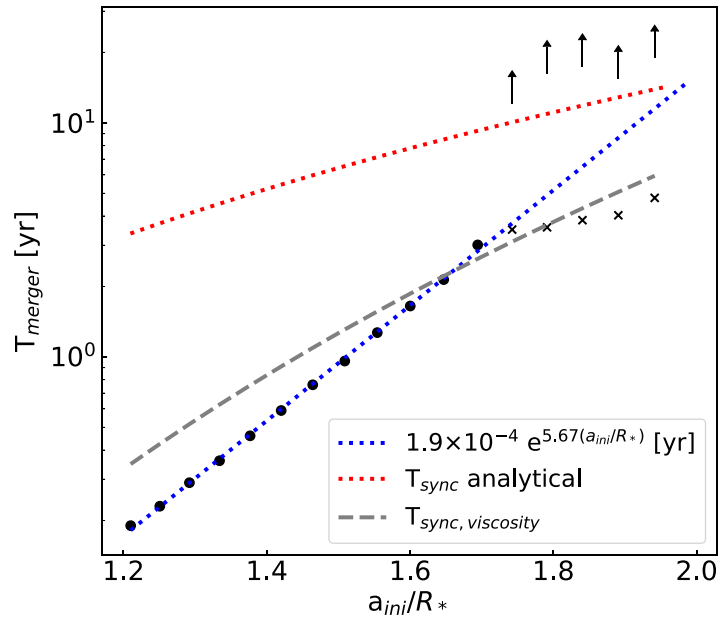
- AREPO, feedback無し、sink粒子密度依存性
 - 原始星形成後400年
 - sink粒子の質量の合計は解像度に依らない
 - 解像度が高いほど分裂片の数が増加
 - high-mass側の質量も低下
- ← 別のシミュレーションではhigh-mass側は寡占的成長
(Saavedra-Bastidas+24)

寡占的成長と総中流的成長を分ける条件は？



合体に至る過程

Kirihara+23



- 初期に回転していない近接連星の合体過程のSPH計算
- 軌道角運動量が原始星のスピンのように引き抜かれることで合体
- 軌道角運動量とスピンの相互作用はsink粒子だとゼロ、EOSを硬くする方法だと過大評価

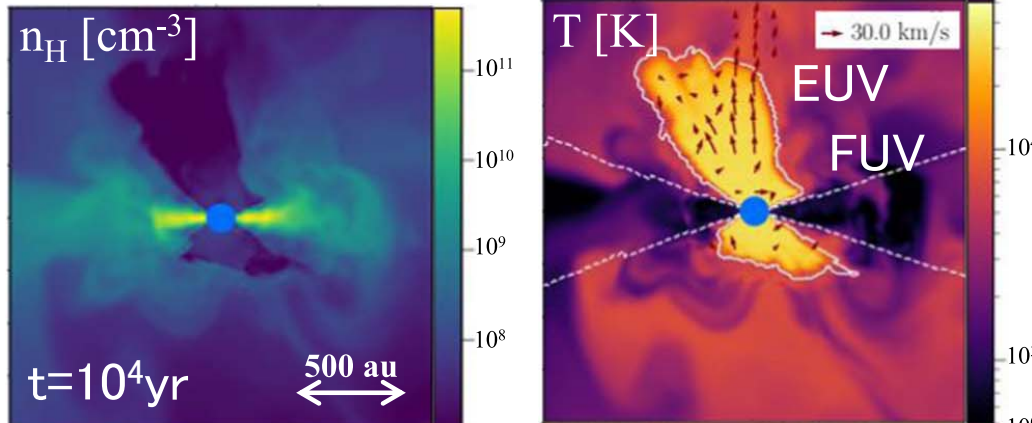
近接連星を作るメカニズムは？ → 定成さんトーク

低解像度のシミュレーションで合体をどう扱うべきか？

輻射フィードバック下の原始星成長

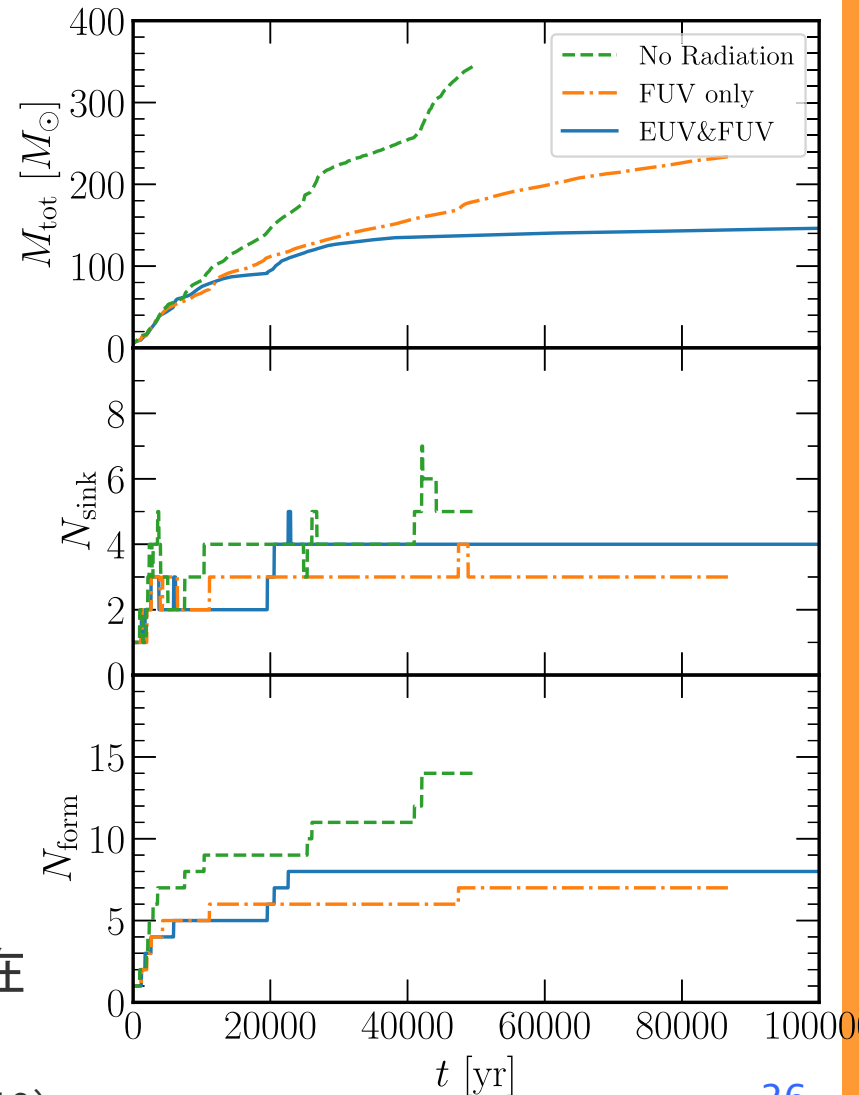
McKee&Tan08, Hosokawa+12,16, Stacy+13,16, Susa13, Susa+14, KS+20,23, Latif+22, Jaura+22, Park+23, Toyouchi+23, Sharda&Menon24, Chon+24

KS+20, 23



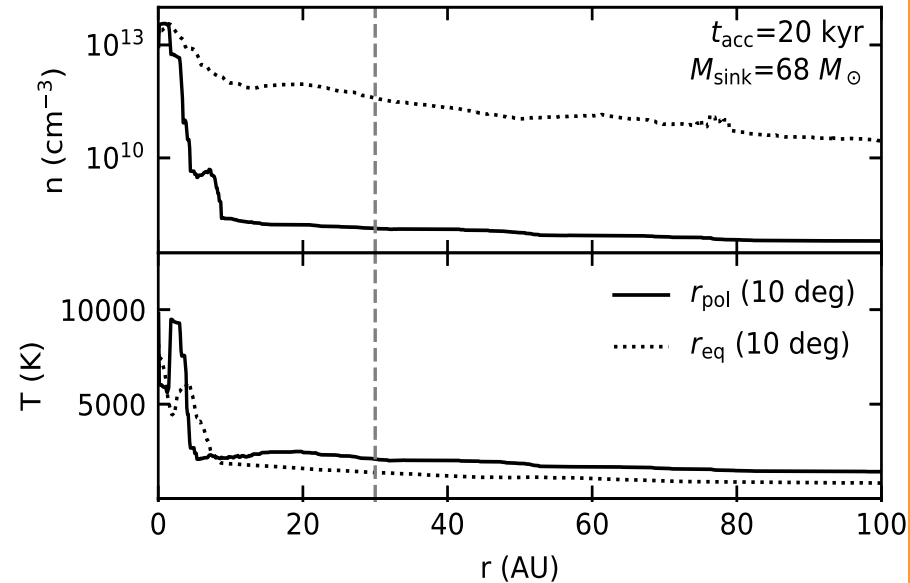
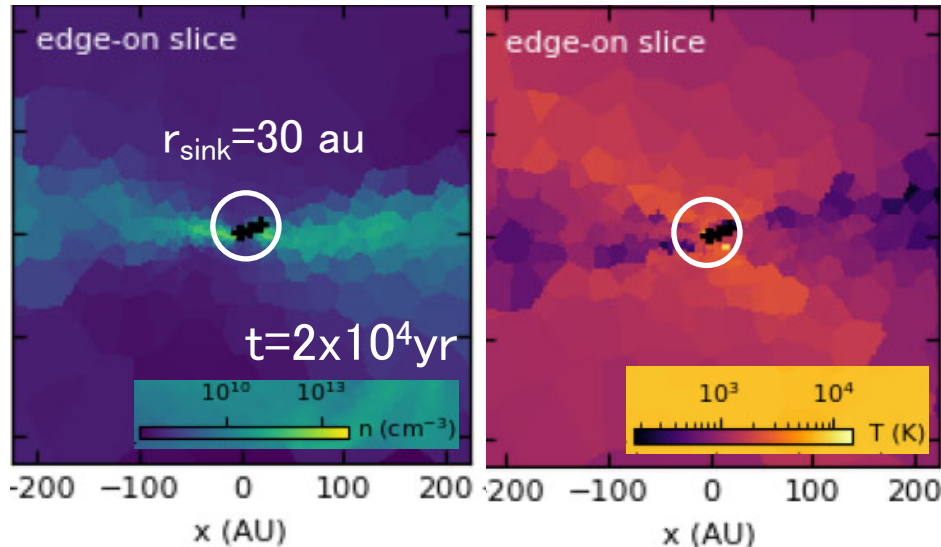
- FUV (H₂解離光子)が初期 (~10⁴yr)に効く
 - ✓ 降着率・分裂を抑制
- EUV (電離光子)は後で (~3x10⁴yr)効く
 - ✓ 最終的に降着を止める
- bipolar電離バブルは前 (~10⁴yr)から存在
- 複数星の場合も単独星のときと類似

(e.g., McKee&Tan 08, Hosokawa+12)

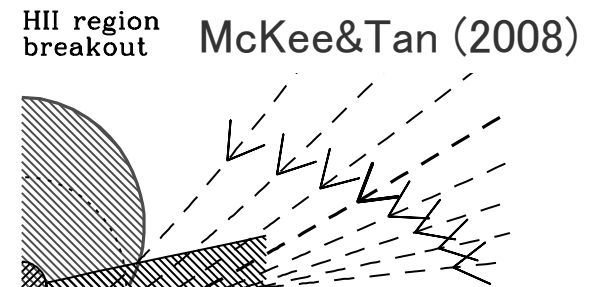


電離光子が分厚い円盤から出られない？

Jaura+22



- AREPO、EUV/FUVをsink中心に注入
- EUVは分厚い円盤に全て吸収される
→ フィードバックも効かない
- bipolarな電離バブルの描像と異なる
(e.g., McKee&Tan 08, Hosokawa+12, KS+20,23)
- sink内の重力softeningの影響は？
 - 等温ガスの $H/R \propto c_s / \Omega R \propto R^{1/2}$



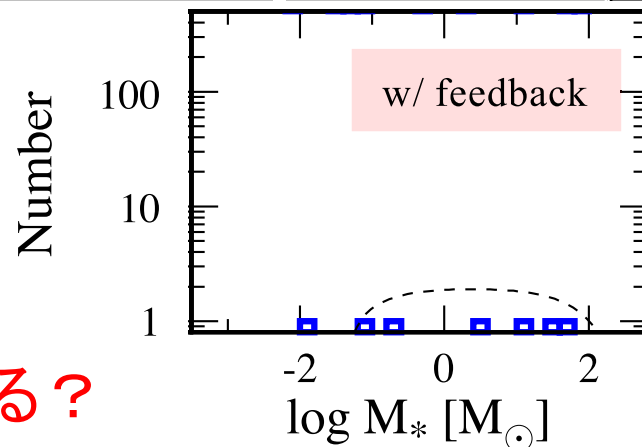
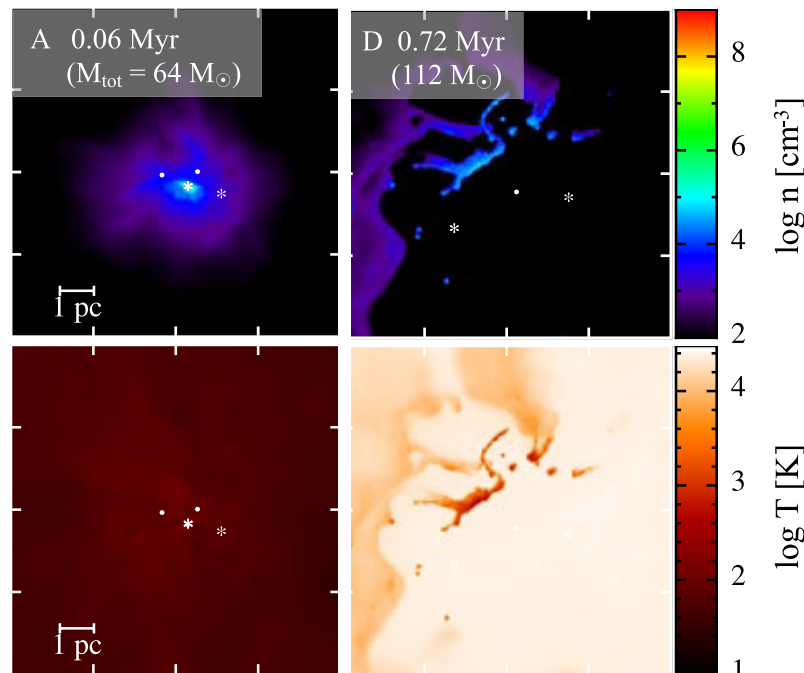
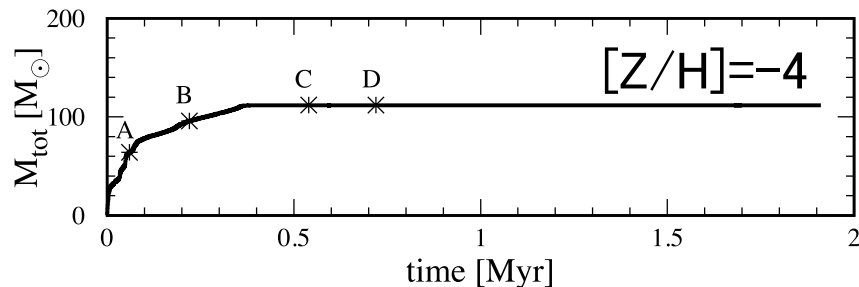
原始星近傍や円盤内側の構造を明らかにするのが重要

輻射入り 高解像度計算

Chon+24 → 大向さんトーク？

- Gadget、EUV/FUV/IR フィードバック
- ガス雲からの星団形成計算
- IMFの金属量依存性がメインテーマだが、一番金属度の低い計算に着目
- SPHだが電離フィードバックが効く
- 電離フィードバックをSPHで解くのは難しいが(Susa13)高解像度により克服？
 - ✓ $M_{\text{SPH}} = 3 \times 10^{-5} M_{\text{sun}}$ 、 $r_{\text{sink}} \sim 1 \text{ au}$
 - ✓ 質量解像度はSusa+14の約100倍
- 小質量の初代星も形成 ($M < 0.8 M_{\text{sun}}$ で現在まで生存)
- high-mass側が寡占的に成長

降着期最後まで計算も解像度頑張れる？

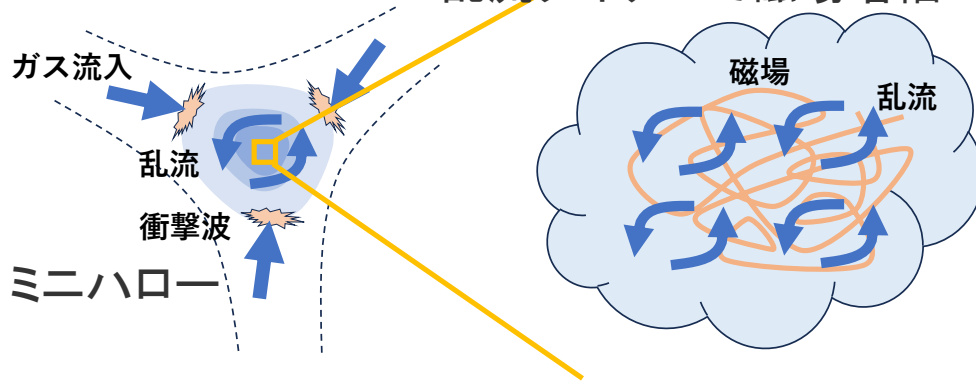


初代星と磁場

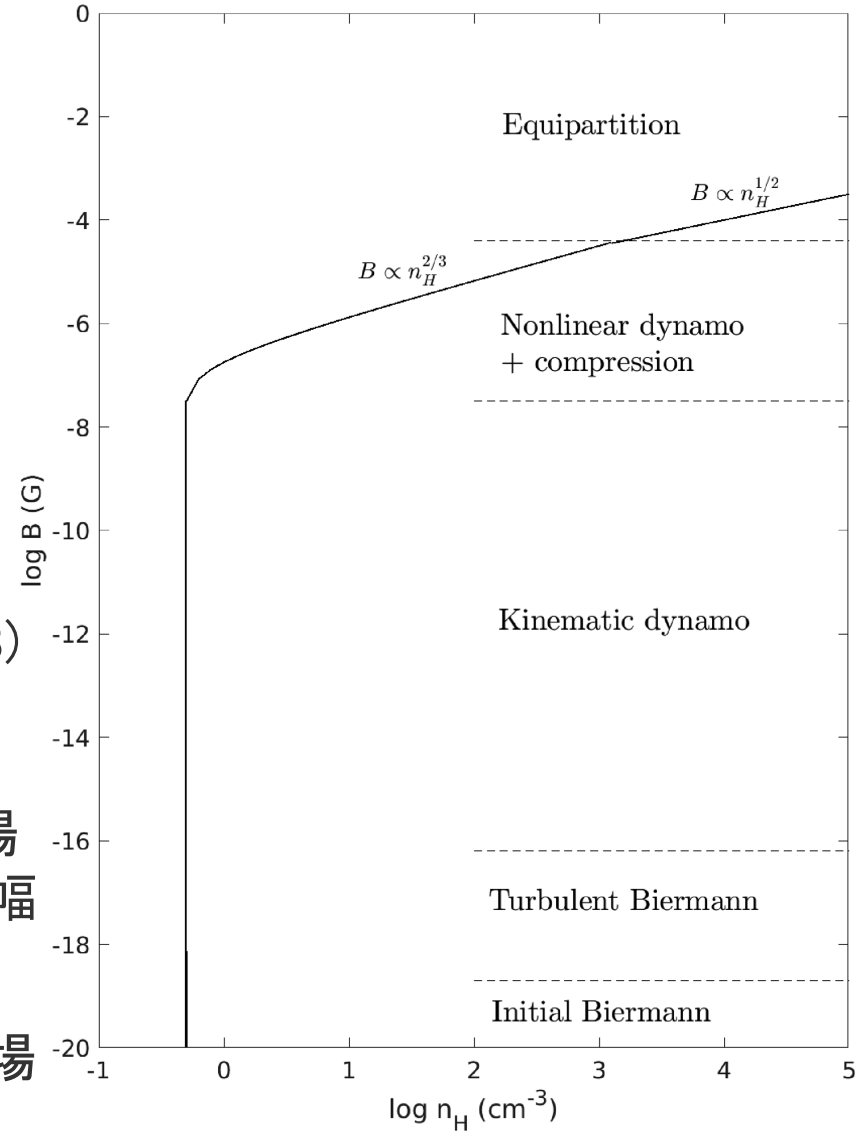
Machida+06,08, McKee+20, Sadanari+21,24, Sharda+21, Stacy+22, Prole+22, Saad+22, Hirano&Machida22, Latif+23, Higashi+24, Diaz+24

McKee+20

ビアマン機構で種磁場生成
乱流ダイナモで磁場増幅

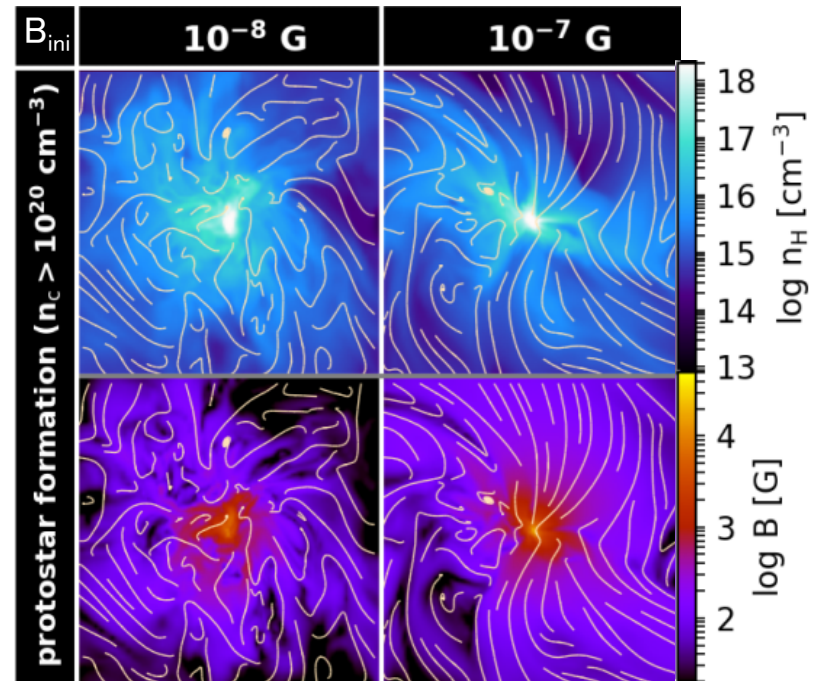
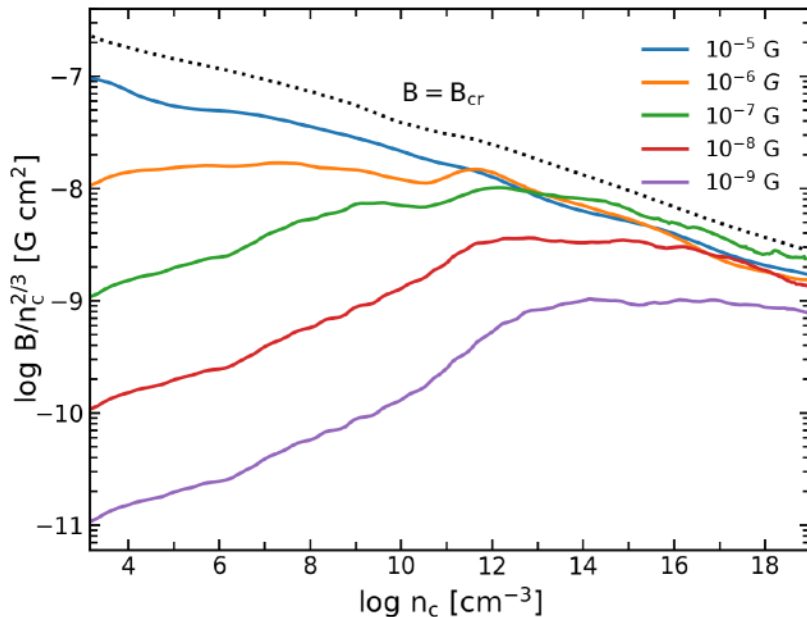


- 多くの研究で初代星形成時の磁場は弱いと仮定されていた (but, e.g., Machida+06,08)
- この論文で解析的に磁場が重要と主張
- ビアマン機構で生成した非常に弱い種磁場 (10^{-16}G) は、乱流ダイナモにより急激に増幅してエネルギー等分配に達する
- この論文のせいかは不明だが、初代星磁場のシミュレーションが流行



重力収縮期の磁場増幅

Sadanari+23



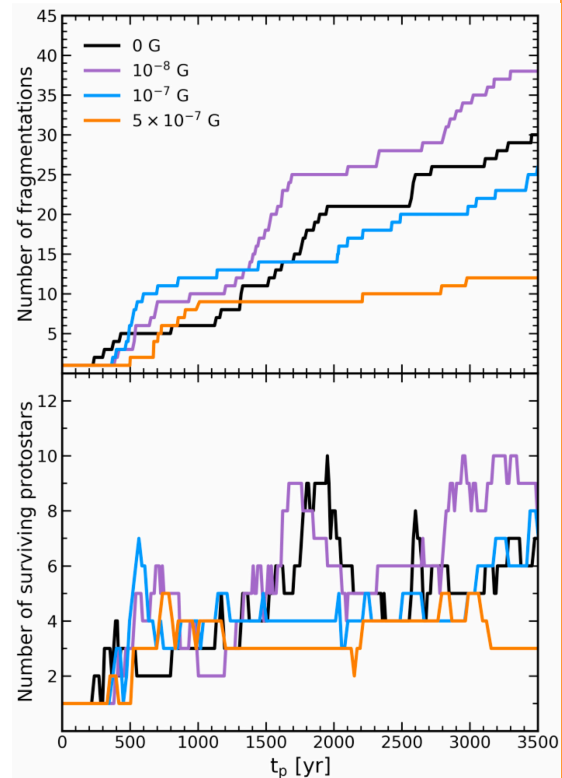
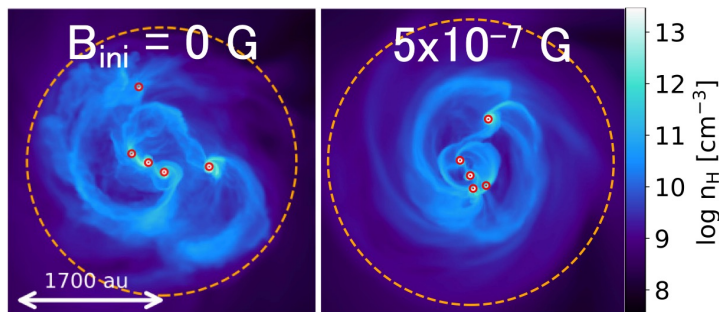
- 乱流ダイナモによって磁場が増幅しsaturation
- saturation後に磁場は徐々に揃う
 - ← Higashi+24のポリティロープ高解像度計算ではそのような様子は見られず
- 両極性拡散による加熱が効くという解析的予想 (Schleicher+09)を否定

ダイナモによる磁場の増幅は多くのグループが確認
増幅の結果どんな磁場構造になるかは不確か

分裂への磁場の影響

Sadanari+24

- 分裂回数を抑制
- 合体のため原始星数への影響は小さい
- アウトフローは弱い



Prole+21

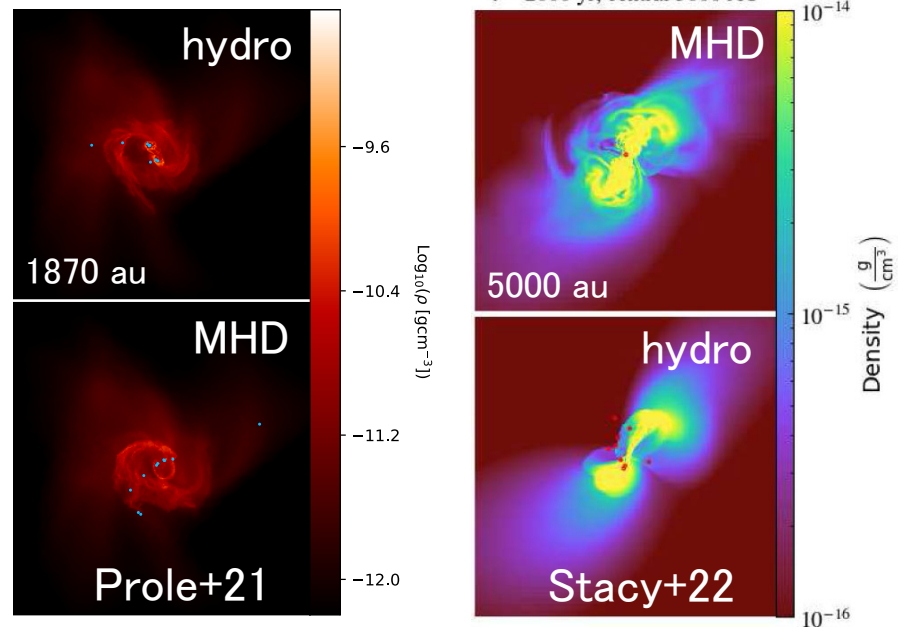
- 分裂への影響は小さい

Stacy+22

- 分裂が完全に抑制されて単独星形成

磁場がどのくらい影響するか
グループ毎に結果が異なる

初期磁場の不定性が原因か？

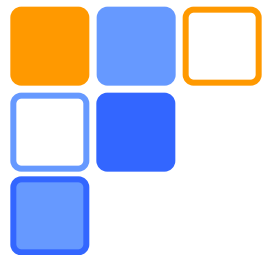




超大質量星形成

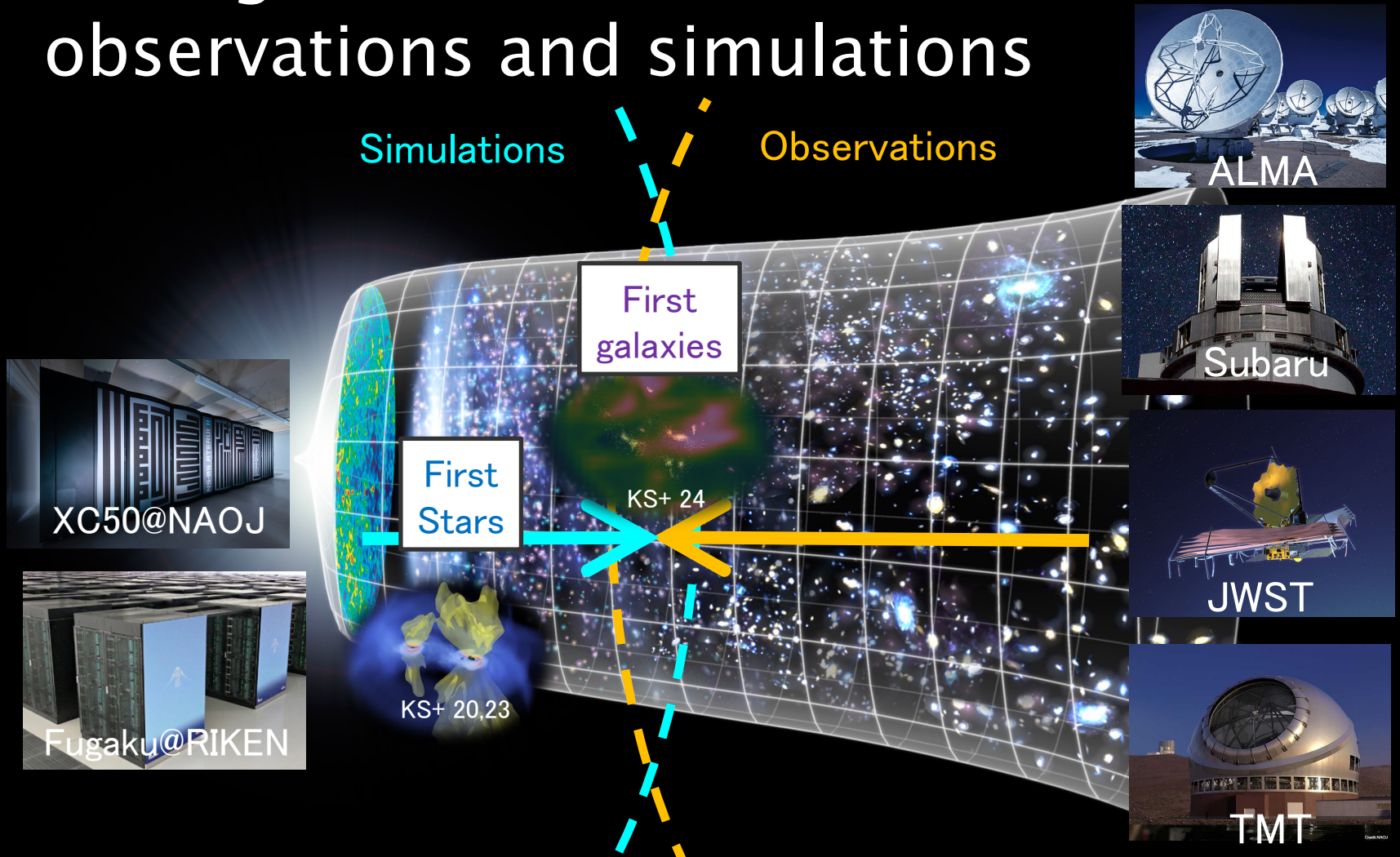
Omukai+01, Brom&Loeb03, KS+14, Wise+19, Chon&Omukai20, Woods+21,23, Latif+22, Kiyuna+23,24, Chiaki+23, Reinoso+23, Regan23, Patrick+23, Toyouchi+23, Prole24a,b, Regan&Volonteri24, Ventura+24

- 特殊な環境下では、始原ガス雲から超大質量星 ($M \sim 10^5 M_{\text{sun}}$) が形成すると考えられている
 - 超新星を経ずに直接重力崩壊して超巨大BHの種に
 - 場合によっては超新星爆発も起こる？
- 最近もいろいろ研究が進められているが、時間の都合により今回は紹介しない
 - 喜友名さん、藤林さん、梅田さんトーク



ONE MORE TOPIC: FIRST STARS IN FIRST GALAXY SIMULATIONS

First-galaxies as frontiers for observations and simulations



Simulations of first galaxy formation can be directly tested by observations in the JWST era

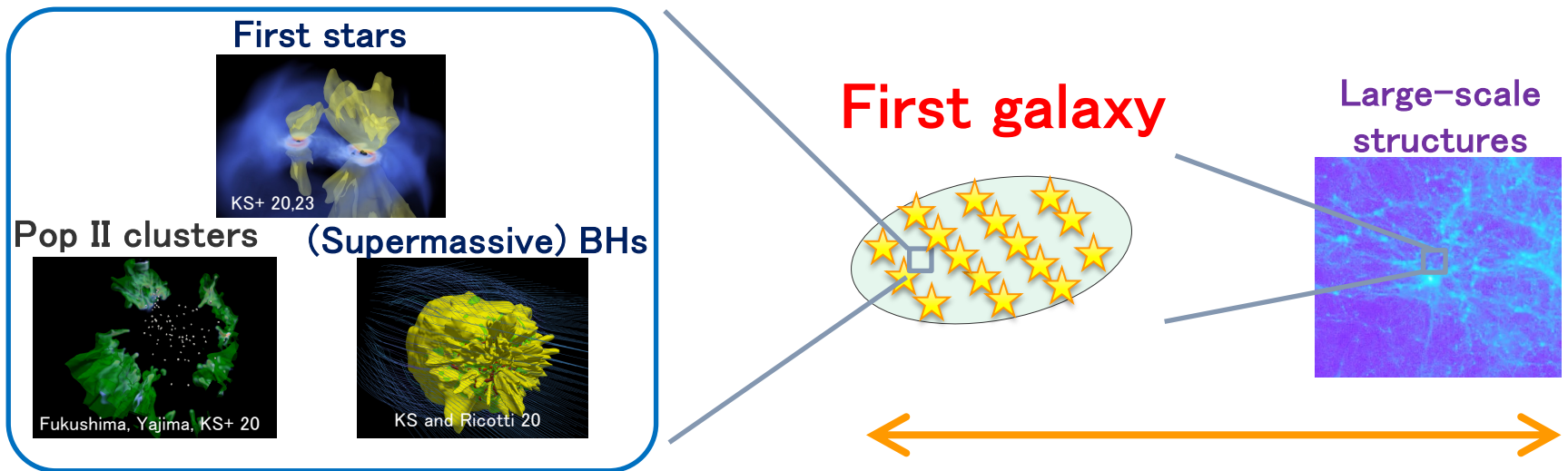


“Bottom-up” simulations of first galaxies

<pc-scale

kpc-scale

>Mpc-scale



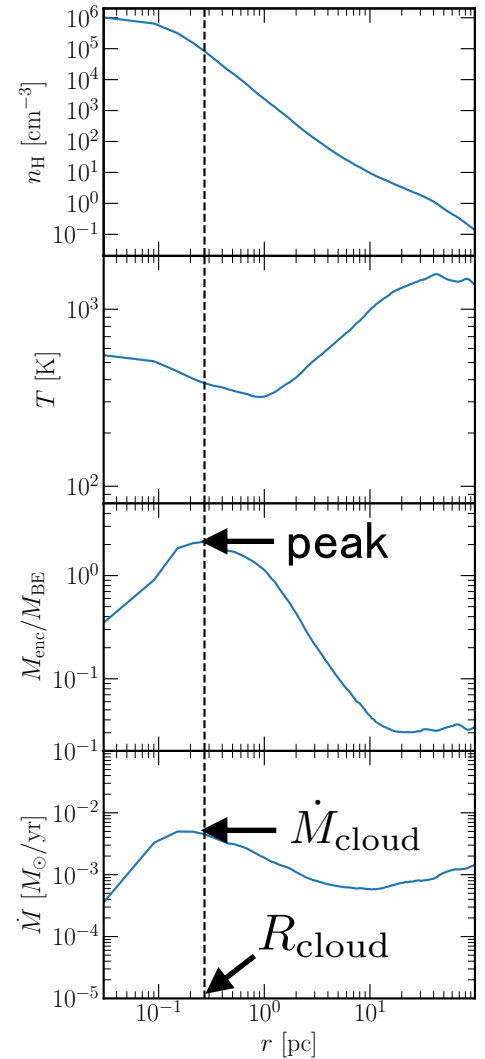
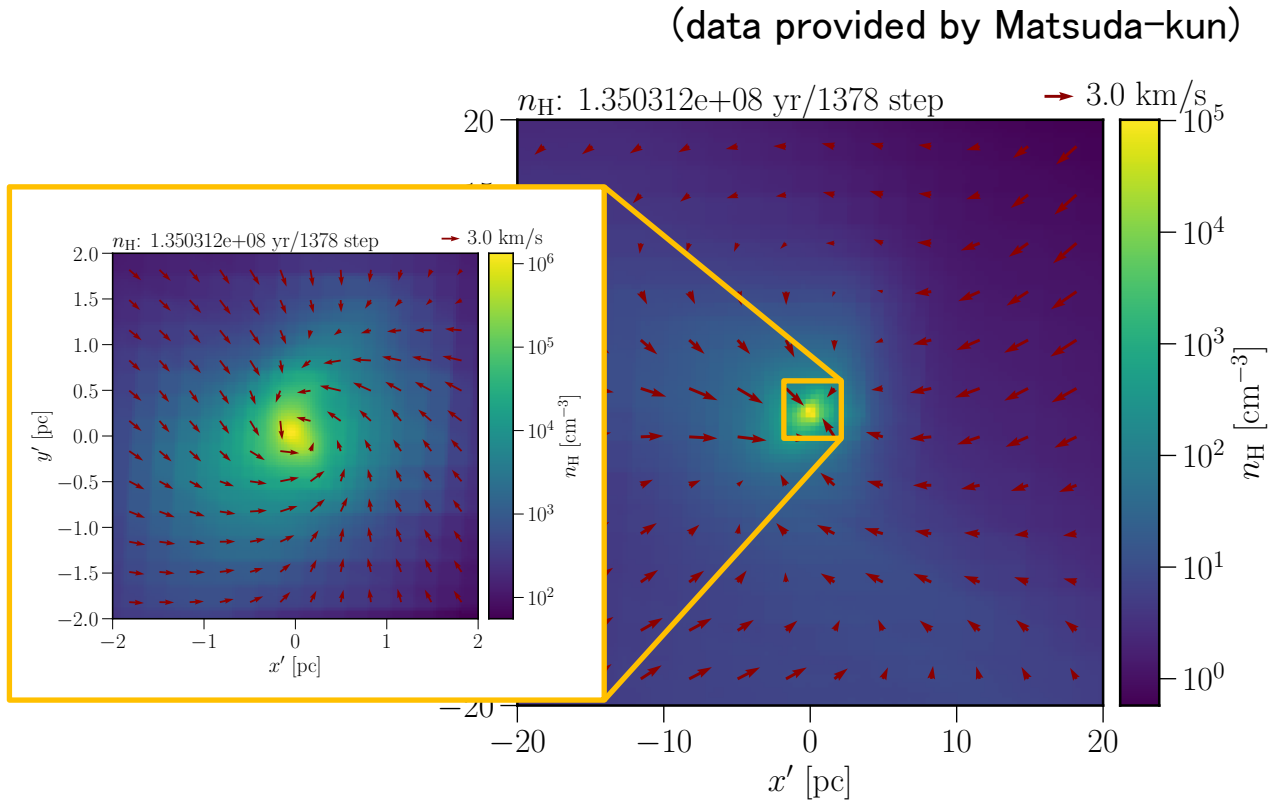
knowledge on small-scale processes
(not phenomenological models)

well-established ICs and evolution Eqs
(galaxy formation simulations)

Reveal the first galaxy formation by combining simulations that solve the large-scale physical law and knowledge on small-scale processes

POP IIIの星質量の理解を初代銀河形成シミュレーションに統合
POP II IMFの理解の統合 → 石田さんトーク

Pop III star formation site in a first galaxy simulation

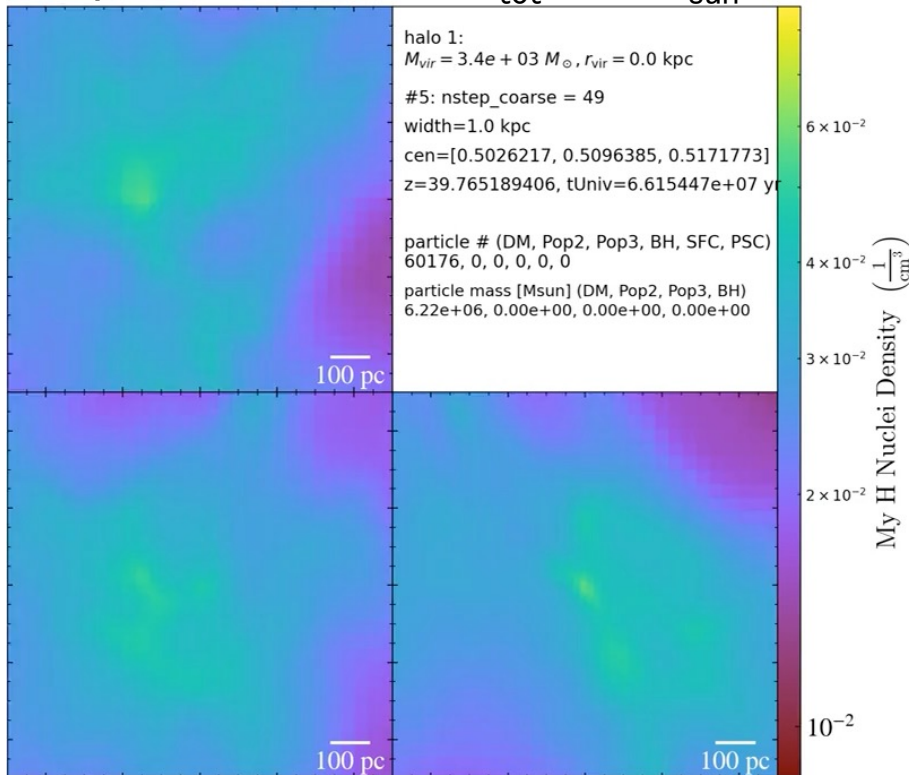


Pop III (total) mass can be estimated with
the Hirano15 formula (see also KS+23)

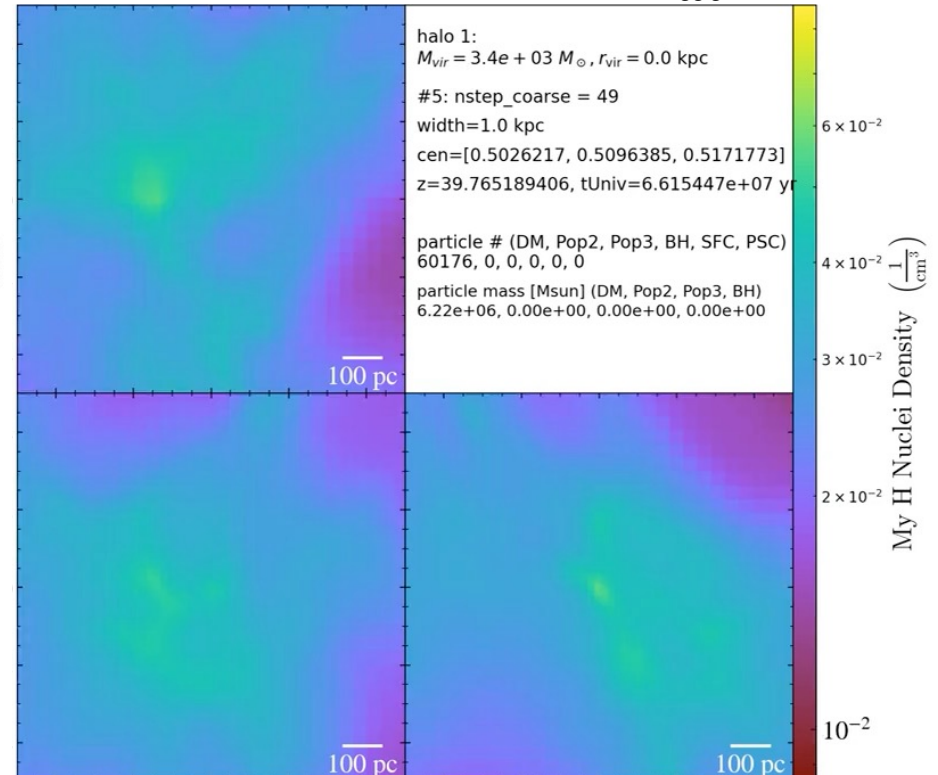
$$M_{\text{tot}} = 250 M_{\odot} \left(\frac{\dot{M}_{\text{cloud}}}{2.8 \times 10^{-3} M_{\odot} \text{ yr}^{-1}} \right)^{0.7}$$

Test run with the new Pop III model

previous model ($M_{\text{tot}}=120M_{\text{sun}}$)



new model (Mdot-dep M_{tot})

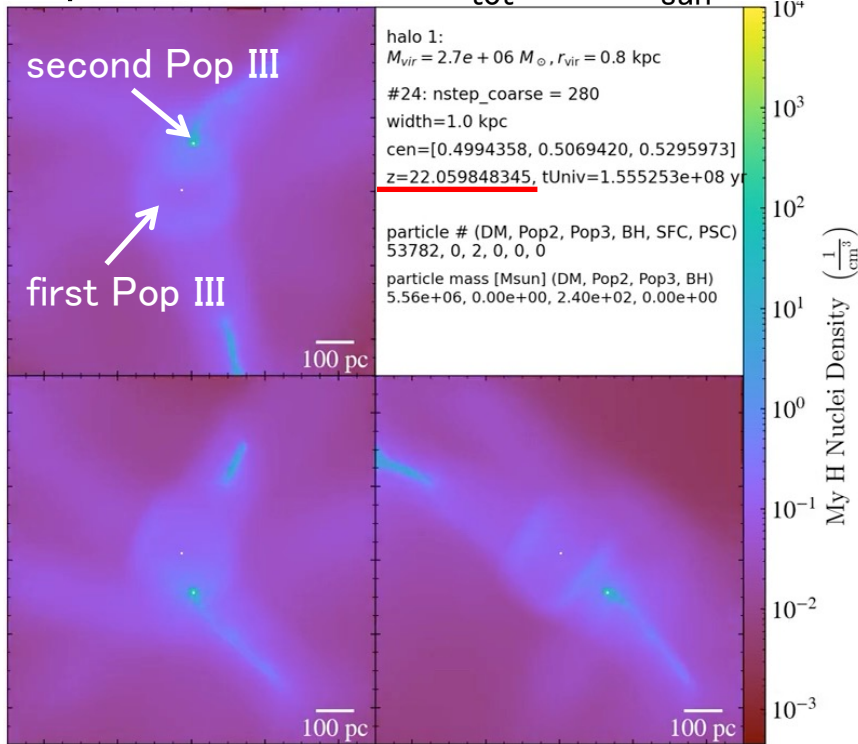


The new run follows a different history due to higher Pop III mass

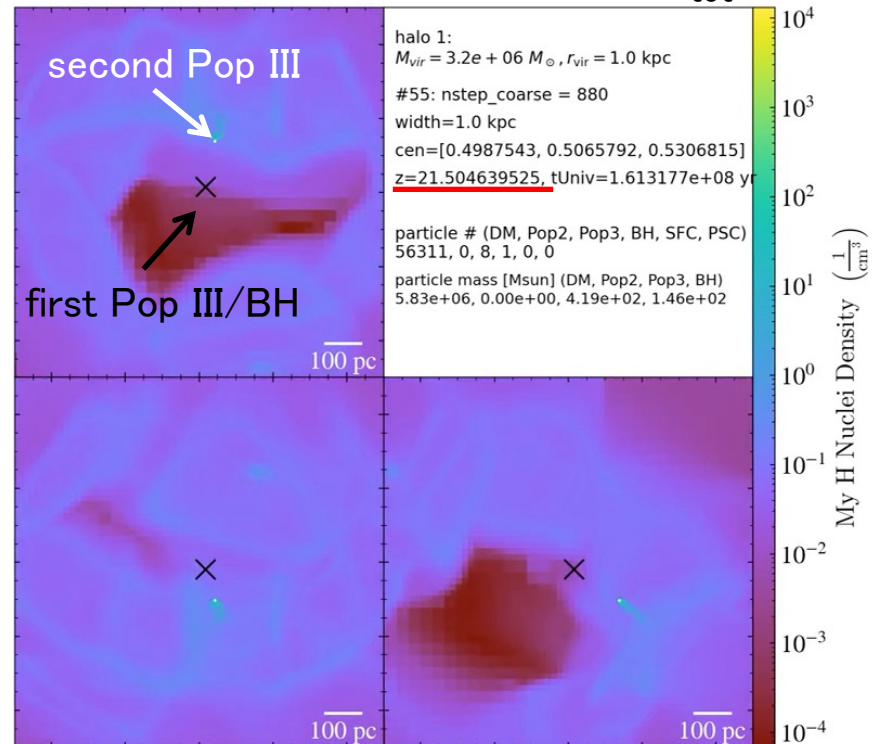


For instance, second Pop III formation proceeds differently

previous model ($M_{\text{tot}}=120M_{\text{sun}}$)



new model ($M_{\text{dot-dep}} M_{\text{tot}}$)



Pop III フィードバックの星質量依存性 → 松田さんトーク

初代星形成を始めとする小スケール研究の成果を統合することで、

初代銀河形成の真の姿に迫ることを目指す！！



CONCLUSIONS

Conclusions: studies of first stars

Big goal

- determining the properties of the first stars from the first principle

Current understanding

- First stars form via H₂ cooling in minihalos at $10 \lesssim z \lesssim 30$
- B-field is amplified with turbulence during cloud collapse
- Multiple protostars are seeded by gas fragmentation
- First stars form as massive multiple-star systems

Future topics

- diversity in Pop III forming environment
- long-term evolution with small-scale fragmentation/merger
- protostar-scale dynamics with radiative transfer
- origin, amplification and role of B-field
- first-galaxy studies based on first-star understanding